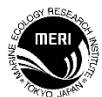

海生研収書報告 No. 1601-1612

2016年1月-12月収録

2017年3月発行



公益財団法人
海洋生物環境研究所

問合せ先：中央研究所 情報チーム 〒299-5105 千葉県夷隅郡御宿町岩和田 300/TEL (0470) 68-5111

本収書報告は2016年に収集した文献，単行書等を収録したものです。収録文献は，下記領域・分野に分類してあります。

| | |
|-----------------------|----|
| 文 献 | 2 |
| 発電所関連..... | 2 |
| 放射能関連..... | 4 |
| 化学物質関連..... | 9 |
| 海洋環境維持・保全..... | 12 |
| 生物生理・生態..... | 16 |
| 気候変動・地球温暖化・海洋酸性化..... | 27 |
| 養殖・魚病..... | 40 |
| 分類・遺伝..... | 42 |
| 資源..... | 42 |
| その他..... | 43 |
| 単行書 | 44 |

(注：各文献・単行書の最後の番号は，当所ライブラリーでの登録番号です)

文 献

発電所関連

- 明日香壽川(2016). 原発と地球温暖化問題との錯綜した関係. 科学, 86(7):718-725. S48308
- 金折裕司・山崎晴雄・平松良浩(2016). フォーラム・アイ・ワイド 志賀原子力発電所のシーム問題 有識者会合「評価」への専門家からの反論. エネルギーフォーラム, 62(735):98-103. S48295
- 古田岳志・野方靖行・石井晴人(2016). 模擬管路を用いた付着生物に対する塩素注入効果の評価. 火力原子力発電, 67(1):24-32. S48164
- Ahn, J. K. & Kim, Y. H. (2009). Spatial and temporal patterns of coralline algae around three nuclear power plants on the east coast of Korea. *Korean Journal of Environmental Biology*, 27(1): 114-123. S48298
- Allen, G., Amaral, S. & Black, J. (2012). Fish protection technologies: The US experience. In “Operational and environmental consequences of large industrial cooling water systems”, (eds. Rajagopal, S., Jenner, H. A. & Venugopalan, V. P.), Springer Science+Business Media, 371-390. S48539
- Anil, A. C., Desai, D. V., Khandeparker, L. & Gaonkar, C. A. (2012). Barnacles and their significance in biofouling. In “Operational and environmental consequences of large industrial cooling water systems” (eds. Rajagopal, S., Jenner, H. A. & Venugopalan, V. P.), Springer Science+Business Media, 65-93. S48529
- Bamber, R. N. & Turnpenny, A. W. H. (2012). Entrainment of organisms through power station cooling water systems. In “Operational and environmental consequences of large industrial cooling water systems”, (eds. Rajagopal, S., Jenner, H. A. & Venugopalan, V. P.), Springer Science+Business Media, 339-352. S48537
- Brujjs, M. C. M. & Taylor, C. J. L. (2012). Fish impingement and prevention seen in the light of population dynamics. In “Operational and environmental consequences of large industrial cooling water systems”, (eds. Rajagopal, S., Jenner, H. A. & Venugopalan, V. P.), Springer Science+Business Media, 391-409. S48540
- Brujjs, M. C. M., Jenner, H. A. & Bijstra, D. (2012). Cooling water discharge guidelines in the Netherlands: recent developments through advanced 3D modelling. In “Operational and environmental consequences of large industrial cooling water systems”, (eds. Rajagopal, S., Jenner, H. A. & Venugopalan, V. P.), Springer Science+Business Media, 411-420. S48541
- Chaopeng, J., Zhaoli, X., Jiajie, C., Lufeng, S. & Jianglong, Q. (2016). Effects of the thermal discharge from Qinshan Nuclear Plant on the distribution pattern of fish. *Journal of Fishery Sciences of China*, 23(2): 478-488. S48166
- Chew, L. L., Chong, V. C., Wong, R. C. S., Lehette, P., Ng, C. C. & Loh, K. H. (2015). Three

- decades of sea water abstraction by Kapar power plant (Malaysia): What impacts on tropical zooplankton community? *Marine Pollution Bulletin*, 101(1): 69-84. S48137
- Claudi, R., Jenner, H. A. & Mackie, G. L. (2012). Monitoring: the underestimated need in macrofouling control. In “Operational and environmental consequences of large industrial cooling water systems”, (eds. Rajagopal, S., Jenner, H. A. & Venugopalan, V. P.), Springer Science+Business Media, 33-43. S48528
- Costa, R., Moggridge, G. D. & Aldridge, D. C. (2012). Improved mussel control through microencapsulated biobullets. In “Operational and environmental consequences of large industrial cooling water systems”, (eds. Rajagopal, S., Jenner, H. A. & Venugopalan, V. P.), Springer Science+Business Media, 273-286. S48534
- Crear, D. P., Lawson, D. D., Seminoff, J. A., Eguchi, T., LeRoux, R. A. & Lowe, C. G. (2016). Seasonal shifts in the movement and distribution of green sea turtles *Chelonia mydas* in response to anthropogenically altered water temperatures. *Marine Ecology Progress Series*, 548: 219-232. S48332
- Israel, S., Satheesh, R., Venugopalan, V. P., Munuswamy, N. & Subramoniam, T. (2012). Impact of power plant discharge on intertidal fauna. In “Operational and environmental consequences of large industrial cooling water systems”, (eds. Rajagopal, S., Jenner, H. A. & Venugopalan, V. P.), Springer Science+Business Media, 353-370. S48538
- Javed, M., Ahmad, I., Usmani, N. & Ahmad, M. (2016). Bioaccumulation, oxidative stress and genotoxicity in fish (*Channa punctatus*) exposed to a thermal power plant effluent. *Ecotoxicology and Environmental Safety*, 127: 163-169. S48322
- Jia, H. L., Zheng, S., Xie, J., Ying, X. M. & Zhang, C.-P. (2016). Influence of geographic setting on thermal discharge from coastal power plants. *Marine Pollution Bulletin*, 111(1-2): 106-114. S48592
- Khalanski, M. & Jenner, H. A. (2012). Chlorination chemistry and ecotoxicology of the marine cooling water systems. In “Operational and environmental consequences of large industrial cooling water systems”, (eds. Rajagopal, S., Jenner, H. A. & Venugopalan, V. P.), Springer Science+Business Media, 183-226. S48532
- Macdonald, I. A., Polman, H. J., Jenner, H. A. & Quyam, S. Q. B. M. (2012). Pulse-Chlorination@: anti-fouling optimization in seawater cooling systems. In “Operational and environmental consequences of large industrial cooling water systems”, (eds. Rajagopal, S., Jenner, H. A. & Venugopalan, V. P.), Springer Science+Business Media, 287-301. S48535
- Mulhollem, J. J., Colombo, R. E. & Wahl, D. H. (2016). Effects of heated effluent on Midwestern US lakes: implications for future climate change. *Aquatic Sciences*, 78(4): 743-753. S48444
- Poornima, E. H., Raja Rao, V. N. & Venugopalan, P. V. (2012). Effects of power plant entrainment on phytoplankton. In “Operational and environmental consequences of large industrial cooling

- water systems”, (eds. Rajagopal, S., Jenner, H. A. & Venugopalan, V. P.), Springer Science +Business Media, 315-337. S48536
- Rajagopal, S. & Jenner, H. A. (2012). Biofouling in cooling water intake systems: ecological aspects. In “Operational and environmental consequences of large industrial cooling water systems”, (eds. Rajagopal, S., Jenner, H. A. & Venugopalan, V. P.), Springer Science+Business Media, 13-32. S48527
- Rajagopal, S. & van der Velde, G. (2012). Invasive species: implications for industrial cooling water systems. In “Operational and environmental consequences of large industrial cooling water systems”, (eds. Rajagopal, S., Jenner, H. A. & Venugopalan, V. P.), Springer Science +Business Media, 127-162. S48530
- Rajagopal, S. (2012). Chlorination and biofouling control in industrial cooling water systems. In “Operational and environmental consequences of large industrial cooling water systems, (eds. Rajagopal, S., Jenner, H. A. & Venugopalan, V. P.), Springer Science+Business Media, 163-182. S48531
- Rajagopal, S., Jenner, H. A., Venugopalan, V. P. & Khalanski, M. (2012). Biofouling control: alternatives to chlorine. In “Operational and environmental consequences of large industrial cooling water systems”, (eds. Rajagopal, S., Jenner, H. A. & Venugopalan, V. P.), Springer Science+Business Media, 227-271. S48533
- Thome, C., Mitz, C., Somers, C. M., Manzon, R. G., Boreham, D. R. & Wilson, J. Y. (2016). Incubation of lake whitefish (*Coregonus clupeaformis*) embryos in cooling water discharge and the impacts of fluctuating thermal regimes on development. Canadian Journal of Fisheries and Aquatic Sciences, 73(8): 1213-1221. S48362
- Vasslides, J. M., Townsend, H., Belton, T. & Jensen, O. P. (2017). Modeling the effects of a power plant decommissioning on an estuarine food web. Estuaries and Coasts, 40(2): 604-616. S48342

放射能関連

- 青山道夫(2014). 東京電力福島第一原子力発電所事故に由来する汚染水問題を考える. 科学, 84(8):856-865. S48129
- 青山道夫(2015). 東京電力福島第一原子力発電所事故に由来する汚染水問題を三度考える. 科学, 85(10):981-984. S48130
- 有田康一・芦澤 淳・藤本泰文・嶋田哲朗・林 誠二・玉置雅紀・矢部 徹(2016). 伊豆沼におけるオオクチバスによる放射性セシウムの蓄積. 第10回伊豆沼・内沼研究集会発表要旨集, 18-19. S48134
- 石丸 隆・根本芳晴・日下部正志・高田兵衛・横田瑞郎(2016). パネルディスカッション「海洋における今後の放射能モニタリング. 海洋生物環境研究所研究報告, (22):43-49.

S48563

- 今井圭理・渡邊 豊(2015). 「おしよろ丸」を利用した北太平洋表層における東京電力福島第一原子力発電所事故後の放射性セシウム濃度の継続的調査. 北海道大学水産科学研究彙報, 65(2):111-116. S48301
- 帰山秀樹(2016). 東京電力福島第一原発事故の影響評価を中心とした海産動物プランクトンの人工放射性核種に関する研究(総説). 日本プランクトン学会報, 63(1):8-15. S48159
- 日下部正志(2016). 1.3.1 海洋環境をめぐる諸問題 E. 放射能汚染. 水産海洋ハンドブック(第3版), 生物研究社, 50-52. S48162
- 日下部正志(2016). 海洋における放射性核種の分布と変遷. 海洋生物環境研究所研究報告, (22):3-16. S48553
- 日下部正志・稲富直彦・高田兵衛・長谷川一幸・池上隆仁(2016). 福島県及びその近隣県沖海域の堆積物における ^{137}Cs の減少. 日本海洋学会 2016 年春季大会発表資料. S48161
- 熊本雄一郎(2016). 福島第一原子力発電所事故と海. Blue Earth(海洋研究開発機構), (143):28-31. S48336
- 河野孝央・安藤佳明・泉 雄一(2015). 10 種のインスタントコーヒーで作るコーヒーブロック線源の比較評価. Radioisotopes, 64(12):737-744. S48051
- 鈴木究真・小野関(湯浅)由美・田中英樹・松岡栄一・久下敏宏・角田欣一・相澤省一・森勝伸・野原精一・薬袋佳孝・岡田佳子・長尾誠也(2016). ワカサギにおける放射性セシウムの生物学的半減期の推定. 日本水産学会誌, 82(5):774-776. S48487
- 高田兵衛(2016). 放射性セシウムの河川を介した陸域からの海洋環境の影響について. 海洋と生物, 38(3):315-320. S48294
- 高田兵衛・日下部正志・稲富直彦・池上隆仁・長谷川一幸(2016). 東電福島第一原発周辺海域における海水中の放射性 Cs 存在量の変遷. 日本海洋学会 2016 年度春季大会発表資料. S48145
- 高田兵衛・日下部正志・稲富直彦・長谷川一幸・池上隆仁・渡邊幸彦・渡部輝久・鈴木千吉・御園生 淳・森蘭繁光(2016). 日本全国の海水・海底土中放射性 Cs の長期変遷. 海洋生物環境研究所研究報告, (22):17-24. S48558
- 新関晃司・佐々木恵一・稲富直彦・野村浩貴・和田敏裕・難波謙二・泉 茂彦(2016). 給餌試験によるウグイの放射性 Cs の取込および排泄. 日本水産学会春季大会発表資料. S48168
- 新関晃司・佐々木恵一・稲富直彦・野村浩貴・和田敏裕・難波謙二・泉 茂彦(2016). 飼育下のウグイにおける放射性 Cs の取込および排泄. 福島大学環境放射能研究所成果報告会発表資料. S48136
- 根本芳晴・藤田恒雄・渡邊昌人・成田 薫(2016). 福島県の高産魚介類への放射能の影響及び水産業の現状. 海洋生物環境研究所研究報告, (22):35-42. S48562

- 廣瀬勝己 (2015). 環境放射能のグローバル輸送・分布と長期的変動. *Radioisotopes*, 64(12):753-764. S48052
- 堀口敏宏 (2016). 東日本大震災および福島原発事故後の東日本沿岸における潮間帯生物の減少. *科学*, 86(10):1008-1013. S48450
- 三上剛史・眞家永光・嶋田 浩・塚田祥文・柿崎竹彦・馬場光久・高松利恵子・丹治 肇 (2016). 阿武隈川支流の堤外地表層における ^{137}Cs 濃度の経時的変化. *水環境学会誌*, 39(A)5:171-179. S48431
- 横田瑞郎 (2016). 東日本大震災後の水産物の放射性セシウム濃度の推移. *海洋水産エンジニアリング*, (130):66-74. S48479
- 横田瑞郎・渡邊剛幸・野村浩貴・秋本 泰・恩地啓実 (2016). 水産物の放射能の推移. *海洋生物環境研究所研究報告*, (22):25-34. S48554
- 渡邊剛幸 (2016). 新刊書紹介 水産総合研究センター叢書「福島第一原発事故による海と魚の放射能汚染」. *日本水産学会誌*, 82(6):979. S48500
- Aono, T., Yoshida, S. & Akashi, M. (2016). Initial and present situation of food contamination in Japan after the accident at the Fukushima Dai-ichi Nuclear Power Plant. *Radiation Protection Dosimetry*, 171(1): 14-19. S48510
- Aoyama, M., Hamajima, Y., Hult, M., Uematsu, M., Oka, E., Tsumune, D. & Kumamoto, Y. (2016). ^{134}Cs and ^{137}Cs in the North Pacific Ocean derived from the March 2011 TEPCO Fukushima Dai-ichi Nuclear Power Plant accident, Japan. Part one: surface pathway and vertical distributions. *Journal of Oceanography*, 72(1): 53-65. S48104
- Aoyama, M., Hult, M., Hamajima, Y., Lutter, G., Marissens, G., Stroh, H. & Tzika, F. (2016). Tracing radioactivity from Fukushima in the Northern Pacific Ocean. *Applied Radiation and Isotopes*, 109: 435-440. S48142
- Aoyama, M., Kajino, M., Tanaka, T. Y., Sekiyama, T. T., Tsumune, D., Tsubono, T., Hamajima, Y., Inomata, Y. & Gamo, T. (2016). ^{134}Cs and ^{137}Cs in the North Pacific Ocean derived from the March 2011 TEPCO Fukushima Dai-ichi Nuclear Power Plant accident, Japan. Part two: estimation of ^{134}Cs and ^{137}Cs inventories in the North Pacific Ocean. *Journal of Oceanography*, 72(1): 67-76. S48105
- Arai, T. (2016). Temporal and spatial variations of radioactive cesium levels in Northeast Japan following the Fukushima nuclear accident. *Ecotoxicology*, 25(8): 1514-1522. S48509
- Battle, J. V. I. (2016). Dynamic modelling of radionuclide uptake by marine biota: application to the Fukushima nuclear power plant accident. *Journal of Environmental Radioactivity*, 151: 502-511. S48172
- Battle, J. V. I., Beresford, N. A., Beaugelin-Seiller, K., Bezhenar, R., Brown, J., Cheng, J.-J., Cujic, M., Dragovic, S., Duffa, C., Fievet, B., Hosseini, A., Jung, K. T., Kamboj, S., Keum, D.-K., Kryshev, A., LePoire, D., Maderich, V., Min, B.-I., Perianez, R., Sazykina, T., Suh, K.-S., Yu,

- C., Wang, C. & Heling, R. (2016). Inter-comparison of dynamic models for radionuclide transfer to marine biota in a Fukushima accident scenario. *Journal of Environmental Radioactivity*, 153: 31-50. S48212
- Baumann, Z., Fisher, N. S., Gobler, C. J., Buesseler, K. O., George, J. A., Breier, C. F. & Nishikawa, J. (2015). Fukushima ^{137}Cs at the base of planktonic food webs off Japan. *Deep Sea Research Part I: Oceanographic Research Papers*, 106: 9-16. S48462
- Belharet, M., Estournel, C. & Charmasson, S. (2016). Ecosystem model-based approach for modeling the dynamics of ^{137}Cs transfer to marine plankton populations: application to the western North Pacific Ocean after the Fukushima nuclear power plant accident. *Biogeosciences*, 13(2): 499-516. S48506
- Buesseler, K., Dai, M., Aoyama, M., Benitez-Nelson, C., Charmasson, S., Higley, K., Maderich, V., Masque, P., Oughton, D. & Smith, J. N. (2017). Fukushima Daiichi-derived radionuclides in the ocean: transport, fate and impacts. *Annual Review of Marine Science*, 9: 173-203. S48385
- Donatella, D., Chiara, C., Federica, C., Assunta, M. M., Carla, R. & Laura, F. (2016). Radiochemical characterization of algae products commercialized for human consumption. *Health Physics*, 111(3): 256-264. S48436
- Hirose, K. (2016). Fukushima Daiichi Nuclear Plant accident: Atmospheric and oceanic impacts over the five years. *Journal of Environmental Radioactivity*, 157: 113-130. S48278
- Inoue, M., Shirotani, Y., Nagao, S., Kofuji, H., Volkov, Y. N. & Nishioka, J. (2016). Migration of the FDNPP-derived ^{134}Cs and ^{137}Cs along with ^{226}Ra and ^{228}Ra concentrations across the northwestern North Pacific Ocean. *Journal of Environmental Radioactivity*, 162-163: 33-38. S48593
- Kaeriyama, H., Shimizu, Y., Setou, T., Kumamoto, Y., Okazaki, M., Ambe, D. & Ono, T. (2016). Intrusion of Fukushima-derived radiocesium into subsurface water due to formation of mode waters in the North Pacific. *Scientific Reports*, 6, 22010; doi: 10.1038/srep22010. S48285
- Takehi, S., Kaeriyama, H., Ambe, D., Ono, T., Ito, S., Shimizu, Y. & Watanabe, T. (2016). Radioactive cesium dynamics derived from hydrographic observations in the Abukuma River Estuary, Japan. *Journal of Environmental Radioactivity*, 153: 1-9. S48211
- Kanda, N., Wang, Y., Kataoka, N., Yamada, R., Imaizumi, H. & Kano, N. (2015). Effect of Fukushima Daiichi Nuclear Power Plant Accident on lakes in Fukushima Prefecture and Niigata City. *Radioisotopes*, 64(12): 717-728. S48053
- Kim, S. B., Farrow, F., Bredlaw, M. & Stuart, M. (2016). Changes in HTO and OBT activity concentrations in the Perch Lake aquatic ecosystem. *Journal of Environmental Radioactivity*, 165: 280-285. S48591
- Kucukomeroglu, B., Karadeniz, A., Damla, N., Yesilkanat, C. M. & Cevik, U. (2016). Radiological maps in beach sands along some coastal regions of Turkey. *Marine Pollution Bulletin*,

112(1-2): 255-264. S48550

- Kumamoto, Y., Aoyama, M., Hamajima, Y., Nagai, H., Yamagata, T., Kawai, Y., Oka, E., Yamaguchi, A., Imai, K. & Murata, A. (2016). Fukushima-derived radiocesium in the western North Pacific in 2014. *Journal of Radioanalytical and Nuclear Chemistry*, 310: 1-9. S48451
- Liu, D., Hou, X., Du, J., Zhang, L. & Zhou, W. (2016). ^{129}I and its species in the East China Sea: level, distribution, sources and tracing water masses exchange and movement. *Scientific Report*, 6: 36611; doi: 10.1038/srep36611. S48498
- Metian, M., Pouil, S., Hedouin, L., Oberhansli, F., Teyssie, J.-L., Bustamante, P. & Warnau, M. (2016). Differential bioaccumulation of ^{134}Cs in tropical marine organisms and the relative importance of exposure pathways. *Journal of Environmental Radioactivity*, 152: 127-135. S48173
- Miura, M., Ono, K., Yamauchi, M. & Matsuda, N. (2016). Perception of radiation risk by Japanese radiation specialists evaluated as a safe dose before the Fukushima Nuclear Accident. *Health Physics*, 110(6): 558-562. S48347
- Nozaki, Y., Tsubota, H., Kasemsupaya, V., Yashima, M. & Naoko, I. (1991). Residence times of surface water and particle-reactive ^{210}Pb and ^{210}Po in the East China and Yellow seas. *Geochimica et Cosmochimica Acta*, 55(5): 1265-1272. S48282
- Pan, K. & Wang, W.-X. (2016). Radiocesium uptake, trophic transfer, and exposure in three estuarine fish with contrasting feeding habits. *Chemosphere*, 163: 499-507. S48481
- Pan, K., Tan, Q.-G. & Wang, W.-X. (2016). Two-compartment kinetic modeling of radiocesium accumulation in marine bivalves under hypothetical exposure regimes. *Environmental Science & Technology*, 50(5): 2677-2684. S48482
- Perianez, R., Bezhenar, R., Brovchenko, I., Duffa, C., Iosjpe, M., Jung, K. T., Kobayashi, T., Lamego, F., Maderich, V., Min, B. I., Nies, H., Osvath, I., Outola, I., Psaltaki, M., Suh, K. S. & de With, G. (2016). Modelling of marine radionuclide dispersion in IAEA MODARIA program: Lessons learnt from the Baltic Sea and Fukushima scenarios. *Science of The Total Environment*, 569: 594-602. S48465
- Pinder III, J. E., Rowan, D. J. & Smith, J. T. (2016). Development and evaluation of a regression-based model to predict cesium-137 concentration ratios for saltwater fish. *Journal of Environmental Radioactivity*, 152: 101-111. S48169
- Povinec, P. P., Liong Wee Kwong, L., Kaizer, J., Molnar, M., Nies, H., Palcsu, L., Papp, L., Pham, M. K. & Jean-Baptiste, P. (2016). Impact of the Fukushima accident on tritium, radiocarbon and radiocesium levels in seawater of the western North Pacific Ocean: A comparison with pre-Fukushima situation. *Journal of Environmental Radioactivity*, 166 Part 1: 56-66. S48513
- Rozhko, T. V., Badun, G. A., Razzhivina, I. A., Guseynov, O. A., Guseynova, V. E. & Kudryasheva, N. S. (2016). On the mechanism of biological activation by tritium. *Journal of Environmental*

- Radioactivity, 157: 131-135. S48590
- Sartandel, S. J., Jha, S. K. & Tripathi, R. M. (2015). Latitudinal variation and residence time of ^{137}Cs in Indian coastal environment. *Marine Pollution Bulletin*, 100(1): 489-494. S48094
- Sasaki, Y., Funaki, H., Iri, S., Dohi, T. & Hagiwara, H. (2016). Fate of radiocesium in freshwater aquatic plants and algae in the vicinity of the Fukushima Daiichi nuclear power plant. *Limnology*, 17(2): 111-116. S48505
- Tagami, K. & Uchida, S. (2016). Consideration on the long ecological half-life component of ^{137}Cs in demersal fish based on field observation results obtained after the Fukushima Accident. *Environmental Science & Technology*, 50(4): 1804-1811. S48463
- Takata, H., Kusakabe, M., Inatomi, N., Ikenoue, T. & Hasegawa, K. (2016). The contribution of sources to the sustained elevated inventory of ^{137}Cs in offshore waters east of Japan after the Fukushima Dai-ichi Nuclear Power Station accident. *Environmental Science & Technology*, 50: 6957-6963. S48293
- Tateda, Y., Tsumune, D., Misumi, K., Aono, T., Kanda, J. & Ishimaru, T. (2017). Biokinetics of radiocesium depuration in marine fish inhabiting the vicinity of the Fukushima Dai-ichi Nuclear Power Plant. *Journal of Environmental Radioactivity*, 166 Part 1: 67-73. S48512
- Tateda, Y., Tsumune, D., Tsubono, T., Misumi, K., Yamada, M., Kanda, J. & Ishimaru, T. (2016). Status of ^{137}Cs contamination in marine biota along the Pacific coast of eastern Japan derived from a dynamic biological model two years simulation following the Fukushima accident. *Journal of Environmental Radioactivity*, 151: 495-501. S48171
- Wada, T., Tomiya, A., Enomoto, M., Sato, T., Morishita, D., Izumi, S., Niizeki, K., Suzuki, S., Morita, T. & Kawata, G. (2016). Radiological impact of the nuclear power plant accident on freshwater fish in Fukushima: An overview of monitoring results. *Journal of Environmental Radioactivity*, 151: 144-155. S48170
- Wang, C. Y., Baumann, Z., Madigan, D. J. & Fisher, N. S. (2016). Contaminated marine sediments as a source of cesium radioisotopes for benthic fauna near Fukushima. *Environmental Science & Technology*, 50(19): 10448-10455. S48464
- Yamasaki, S., Imoto, J., Furuki, G., Ochiai, A., Ohnuki, T., Sueki, K., Nanba, K., Ewing, R. C. & Utsunomiya, S. (2016). Radioactive Cs in the estuary sediments near Fukushima Daiichi Nuclear Power Plant. *Science of The Total Environment*, 551-552: 155-162. S48511
- Yang, G., Tazoe, H. & Yamada, M. (2016). ^{135}Cs activity and $^{135}\text{Cs}/^{137}\text{Cs}$ atom ratio in environmental samples before and after the Fukushima Daiichi Nuclear Power Plant accident. *Scientific Report*, 6, 24119; doi 10.1038/srep24119. S48205

化学物質関連

高橋和彦・渡部雅也・大谷康彦・工藤潤・金沢弘之・小園一郎・山口秀幸・細見正明・畑

- 恭子・永尾謙太郎(2016). 高濃度アンモニアを含む天然ガス・ヨウ素工場排水が流入する夷隅川における硝化に関する調査. 水環境学会誌, 39(A)5:163-170. S48430
- 村田道雄 (1986). イソギンチャクのクマノミ誘引物質トリプタミン, チラミンなど複数の物質の微妙な混合によって活性が発現. 化学と生物, 24(2):80-82. S48472
- Baird, D. J., Barber, I., Bradley, M., Soares, A. M. V. M. & Calow, P. (1991). A comparative study of genotype sensitivity to acute toxic stress using clones of *Daphnia magna* straus. *Ecotoxicology and Environmental Safety*, 21(3): 257-265. S48139
- Boukadida, K., Banni, M., Gourves, P. Y. & Cachot, J. (2016). High sensitivity of embryo-larval stage of the Mediterranean mussel, *Mytilus galloprovincialis* to metal pollution in combination with temperature increase. *Marine Environmental Research*, 122: 59-66. S48555
- Chavan, P., Kumar, R., Kirubakaran, R. & Venugopalan, V. P. (2016). Chlorination-induced genotoxicity in the mussel *Perna viridis*: assessment by single cell gel electrophoresis (comet) assay. *Ecotoxicology and Environmental Safety*, 130: 295-302. S48443
- Chin, T.-S. & Chen, H.-C. (1993). Toxic effects of mercury on the hard clam, *Meretrix lusoria*, in various salinities. *Comparative Biochemistry and Physiology Part C: Comparative Pharmacology*, 105(3): 501-507. S48143
- Denton, G. R. W. & Burdon-Jones, C. (1982). The Influence of temperature and salinity upon the acute toxicity of heavy metals to the banana prawn (*Penaeus merguensis* de Man). *Chemistry and Ecology*, 1(2): 131-143. S48141
- Dowden, B. F. (1961). Cumulative toxicities of some inorganic salts to *Daphnia magna* as determined by median tolerance limits. *Proceedings of the Louisiana Academy of Sciences*, 23: 77-85. S48102
- Emson, S. & Crane, M. (1994). A comparison of the toxicity of cadmium to the mysid shrimps *Neomysis integer* (Leach) and *Mysidopsis bahia* (Molenock). *Water Research*, 28(8): 1711-1713. S48132
- Hamilton, S. J. & Buhl, K. J. (1990). Acute toxicity of boron, molybdenum, and selenium to fry of chinook salmon and coho salmon. *Archives of Environmental Contamination and Toxicology*, 19(3): 366-373. S48120
- Heger, W., Jung, S.-J., Martin, S. & Peter, H. (1995). Acute and prolonged toxicity to aquatic organisms of new and existing chemicals and pesticides, 1. Variability of the acute to prolonged ratio, 2. Relation to logPow and water solubility. *Chemosphere*, 31(2): 2707-2726. S48100
- Hermanutz, R. O., Allen, K. N., Roush, T. H. & Hedtke, S. F. (1992). Effects of elevated selenium concentrations on bluegills (*Lepomis macrochirus*) in outdoor experimental streams. *Environmental Toxicology and Chemistry*, 11(2): 217-224. S48121
- Kenaga, E. E. (1982). Predictability of chronic toxicity from acute toxicity of chemicals in fish and

- aquatic invertebrates. *Environmental Toxicology and Chemistry*, 1(4): 347-358. S48107
- Kusk, K. O. & Wollenberger, L. (1999). Fully defined saltwater medium for cultivation and toxicity testing with marine copepod *Acartia tonsa*. *Environmental Toxicology and Chemistry*, 18: 1564-1567. S48093
- Kwok, C. K., Lam, K. Y., Leung, S. M., Chui, A. P. Y. & Ang Jr, P. O. (2016). Copper and thermal perturbations on the early life processes of the hard coral *Platygyra acuta*. *Coral Reefs*, 35(3): 827-838. S48393
- Matsuyama, A., Yano, S., Hisano, A., Kindaichi, M., Sonoda, I., Tada, A. & Akagi, H. (2016). Distribution and characteristics of methylmercury in surface sediment in Minamata Bay. *Marine Pollution Bulletin*, 109(1): 378-385. S48370
- Mayer, F. L., Krause, G. F., Ellersieck, M. R., Lee, G. & Buckler, D. R. (1994). Predicting chronic lethality of chemicals to fishes from acute toxicity test data: Concepts and linear regression analysis. *Environmental Toxicology and Chemistry*, 13(4): 671-678. S48099
- Mortimer, M. R. & Miller, G. J. (1994). Susceptibility of larval and juvenile instars of the sand crab, *Portunus pelagicus* (L.), to sea water contaminated by chromium, nickel or copper. *Australian Journal of Marine and Freshwater Research*, 45: 1107-1121. S48128
- Olsvik, P. A., Softeland, L., Hevroy, E. M., Rasinger, J. D. & Waagbo, R. (2016). Fish pre-acclimation temperature only modestly affects cadmium toxicity in Atlantic salmon hepatocytes. *Journal of Thermal Biology*, 57: 21-34. S48256
- Patel, B., Chandy, J. P. & Patel, S. (1988). Do selenium and glutathione inhibit the toxic effects of mercury in marine lamellibranchs? *Science of The Total Environment*, 76(2-3): 147-165. S48119
- Phipps, G. L., Mattson, V. R. & Ankley, G. T. (1995). Relative sensitivity of three freshwater benthic macroinvertebrates to ten contaminants. *Archives of Environmental Contamination and Toxicology*, 28(3): 281-286. S48133
- Song, B., Wang, Y., Wang, G., Liu, G.-L., Li, W. & Yan, F. (2016). The lipopeptide 6-2 produced by *Bacillus amyloliquefaciens* anti-CA has potent activity against the biofilm-forming organisms. *Marine Pollution Bulletin*, 108(1-2): 62-69. S48366
- Thellen, C., Blaise, C., Roy, Y. & Hickey, C. (1989). Round Robin testing with the *Selenastrum capricornutum* microplate toxicity assay. *Hydrobiologia*, 188(1): 259-268. S48131
- Vareille-Morel, C. & Chaisemartin, C. (1982). Natural tolerance and acclimation of different populations of *Austropotamobius pallipes* (Le.) to heavy metals (chromium and lead). *Acta Oecologia/Oecologia Applicata*, 3(1): 105-122. S48108
- Yamaoka, Y., Takimura, O., Fuse, H., Kamimura, K. & Murakami, K. (1996). Accumulation of arsenic by Rhaphidophyceae *Chattonella antiqua* (Hada) Ono. *Applied Organometallic Chemistry*, 10(9): 721-726. S48122

Zarogian, G. E. & Morrison, G. (1981). Effect of cadmium body burdens in adult *Crassostrea virginica* on fecundity and viability of larvae. *Bulletin of Environmental Contamination and Toxicology*, 27(1): 344-348. S48140

海洋環境維持・保全

秋山 諭・中嶋昌紀(2016). 特集：新たな水質環境基準の実際と基準達成に向けたアプローチ 底層 D0 と透明度の変遷から見た大阪湾の水質評価. *水環境学会誌*, 39(A)5:174-177. S48231

安藤晴夫(2016). 特集：新たな水質環境基準の実際と基準達成に向けたアプローチ 東京湾の水質と赤潮, 底層 D0 および透明度の長期変化. *水環境学会誌*, 39(A)5:169-173. S48230

大久保 慧・小野 健・中野和之・宇城 真・藤原建紀(2016). 大阪湾における底層貧酸素の変動特性と持続時間. *水環境学会誌*, 39(A)6:233-240. S48521

粕谷智之(2016). 特集：新たな水質環境基準の実際と基準達成に向けたアプローチ 大村湾における底層溶存酸素量の変遷と改善に向けた取り組み. *水環境学会誌*, 39(A)5:178-181. S48232

佐伯光広・稲田真一・小野寺 毅・永木利幸(2016). 宮城県沿岸における海水温の長期トレンド. *宮城県水産研究報告*, (16):1-9. S48201

新家富雄(2013). 海中雑音と海洋環境. *海洋音響学会誌*, 40(3):193-196. S48525

田口 哲(2016). 総説 レッドフィールド比：研究の歴史と現状, 今後の展望. *海の研究*, 25(4):123-132. S48360

鳥羽光晴・小林 豊・石井 亮・林 俊裕・岡本 隆(2016). 東京湾盤洲干潟において網袋と人工芝による 3 種の二枚貝稚貝の捕集速度に影響を与える要因. *日本水産学会誌*, 82(6):899-910. S48499

中谷祐介・西田修三(2016). 大阪湾沿岸域の地形改変が港域スケール・湾灘スケールの物質循環に及ぼす影響解析. *瀬戸内海*, 71:64-66. S48204

中根幸則・本多正樹・阿部聖哉・奴賀俊光・長谷川一幸・秋本 泰・三浦正治(2016). 干潟におけるカニ食シギ・チドリ類のヤマトオサガニ生息地適性指数モデルを用いた生息環境評価手法. *モニタリングサイト 1000 シギ・チドリ類調査 交流会(東京)発表資料*. S48548

夏池真史・菊地哲郎・Lee Ying Ping・伊藤紘晃・藤井 学・吉村千洋・渡部 徹(2016). 自然水中における鉄の化学種と生物利用性—鉄と有機物の動態からみる森・川・海のつながり—. *水環境学会誌*, 39(A)6:197-210. S48520

二宮早由子・井上隆彦・中野義勝・土屋 誠(2016). 沖縄・備瀬の礁地における海草群落の分布と底質特性. *Algal Resources*, 9(1):15-23. S48432

藤田大介・櫻井克聡・平野 央・桑原久実 (2015). 漁港とその周辺における藻場の分布特性

- の解明とモニタリング手法の開発. (一財)漁港漁場漁村総合研究所 調査研究論文集, (25):101-111. S48273
- 村井俊太・村瀬敦宣・河野 博・竹山佳奈・中瀬浩太・岩上貴弘(2016). 東京湾の湾奥に再生された干潟と人工海浜(大森ふるさとの浜辺公園)の魚類相. *La mer (うみ)*, 54(1・2): 11-28. S48386
- 山田 智・柳橋茂昭・武田和也・広海十朗・鈴木輝明(2016). 三河湾におけるメソ動物プランクトン生物量とカイアシ類群集の長期変動 -特に貧酸素水塊との関係について-. 日本プランクトン学会報, 63(1):1-7. S48158
- 吉田秀嗣・金森 誠・西田芳則(2016). 北海道, 噴火湾における麻痺性貝毒原因プランクトン *Alexandrium tamarense* と環境要因, 特に冬季から春季の降水量との長期変動における関係(資料). 北海道水産試験場研究報告, (90):17-32. S48522
- Anh, P. V., Everaert, G., Goethals, P., Vinh, C. T. & Laender, F. D. (2015). Production and food web efficiency decrease as fishing activity increases in a coastal ecosystem. *Estuarine, Coastal and Shelf Science*, 165: 226-236. S48079
- Bayon, G., German, C. R., Boella, R. M., Milton, J. A., Taylor, R. N. & Nesbitt, R. W. (2002). An improved method for extracting marine sediment fractions and its application to Sr and Nd isotopic analysis. *Chemical Geology*, 187(3-4): 179-199. S48180
- Fernandez, C. (2016). Current status and multidecadal biogeographical changes in rocky intertidal algal assemblages: The northern Spanish coast. *Estuarine, Coastal and Shelf Science*, 171: 35-40. S48244
- Foley, C. J., Bradley, D. L., & Hook, T. O. (2016). A review and assessment of the potential use of RNA:DNA ratios to assess the condition of entrained fish larvae. *Ecological Indicators*, 60: 346-357. S48460
- Gal, A. L. & Derrien-Courtel, S. (2015). Quality Index of Subtidal Macroalgae (QISubMac): A suitable tool for ecological quality status assessment under the scope of the European Water Framework Directive. *Marine Pollution Bulletin*, 101(1): 334-348. S48138
- Helmuth, B., Choi, F. & Zardi, G. (2016). Long-term, high frequency in situ measurements of intertidal mussel bed temperatures using biomimetic sensors. *Scientific Data*, 3: 160087 doi:10.1038/sdata.2016.87. S48433
- Hodgson, E. E., Essington, T. E. & Kaplan, I. C. (2016). Extending vulnerability assessment to include life stages considerations. *PLoS ONE*, 11(7) : e0158917. S48330
- Horiguchi, T., Yoshii, H., Mizuno, S. & Shiraishi, H. (2016). Decline in intertidal biota after the 2011 Great East Japan Earthquake and Tsunami and the Fukushima nuclear disaster: field observations. *Scientific Report*, 6, 20416; doi: 10.1038/srep20416. S48206
- Iryu, Y., Maemoku, H., Yamada, T. & Maeda, Y. (2009). Limestones as a paleobathymeter for reconstructing past seismic activities: Muroto-misaki, Shikoku, southwestern Japan. *Global*

- and Planetary Change, 66(1-2): 52-64. S48319
- Isobe, A., Uchida, K., Tokai, T. & Iwasaki, S. (2015). East Asian seas: A hot spot of pelagic microplastics. *Marine Pollution Bulletin*, 101(2): 618-623. S48095
- Kang, E. J., Kim, J.-H., Kim, K. & Kim, K. Y. (2016). Adaptations of a green tide forming *Ulva linza* (Ulvophyceae, Chlorophyta) to selected salinity and nutrients conditions mimicking representative environments in the Yellow Sea. *Phycologia*, 55(2): 210-218. S48144
- Kittiwanch, J., Yamamoto, T., Kawaguchi, O. & Madinabeitia, I. (2016). Assessing responses of the Hiroshima Bay ecosystem to increasing or decreasing phosphorus and nitrogen inputs. *Marine Pollution Bulletin*, 102(2): 256-264. S48351
- Kowalski, N., Reichardt, A. M. & Waniek, J. J. (2016). Sinking rates of microplastics and potential implications of their alteration by physical, biological, and chemical factors. *Marine Pollution Bulletin*, 109(1): 310-319. S48369
- Li, H.-M., Zhang, C.-S., Han, X.-R. & Shi, X.-Y. (2015). Changes in concentrations of oxygen, dissolved nitrogen, phosphate, and silicate in the southern Yellow Sea, 1980–2012: Sources and seaward gradients. *Estuarine, Coastal and Shelf Science*, 163: 44-55. S48078
- Liu, X., Huang, D., Zhu, Y., Chang, T., Liu, Q., Huang, L., Zhao, W., Lin, K. & Liu, L. (2015). Bioassessment of marine sediment quality using meiofaunal assemblages in a semi-enclosed bay. *Marine Pollution Bulletin*, 100(1): 92-101. S48055
- Liu, X., Wang, Z. & Zhang, X. (2016). A review of the green tides in the Yellow Sea, China. *Marine Environmental Research*, 119: 189-196. S48406
- Merchant, N. D., Brookes, K. L., Faulkner, R. C., Bicknell, A. W. J., Brendan J., Godley, B. J. & Witt, M. J. (2016). Underwater noise levels in UK waters. *Scientific Report*, 6, 26942; doi: 10.1038/srep36942. S48477
- Milledge, J. J. & Harvey, P. J. (2016). Golden tides: problem or golden opportunity? The valorisation of *Sargassum* from beach inundations. *Journal of Marine Science and Engineering*, 4(3): 10.3390/jmse4030060 S48438
- Miranda, D. de A. & de Carvalho-Souza, G. F. (2016). Are we eating plastic-ingesting fish? *Marine Pollution Bulletin*, 103(1-2): 109-114. S48275
- Moreira, R. A., Mansano, A. da S., Rocha, O. & Daam, M. A. (2016). The use of rotifers as test species in the aquatic effect assessment of pesticides in the tropics. *Hydrobiologia*, 773(1): 1-9. S48233
- Nakamura, M., Masuda, R., Tsukamoto, K. & Otake, T. (2016). Narrowed temperature adaptability in non-natal osmotic environments of two euryhaline wanderers, dace and black porgy: implications for seasonal habitat changes. *Fisheries Science*, 82(2): 261-268. S48184
- Nozaki, Y., Kasemsupaya, V. & Tsubota, H. (1989). Mean residence time of the shelf water in the East China and the Yellow Seas determined by $^{228}\text{Ra}/^{226}\text{Ra}$ measurements. *Geophysical*

- Research Letters, 16(11): 1297-1300. S48283
- Rizzi, J., Torresan, S., Critto, A., Zabeo, A., Brigolin, D., Carniel, S., Pastres, R. & Marcomini, A. (2016). Climate change impacts on marine water quality: The case study of the Northern Adriatic sea. *Marine Pollution Bulletin*, 102(2): 271-282. S48346
- Roberts, L., Perez-Dominguez, R. & Elliott, M. (2016). Use of baited remote underwater video (BRUV) and motion analysis for studying the impacts of underwater noise upon free ranging fish and implications for marine energy management. *Marine Pollution Bulletin*, 112(1-2): 75-85. S48549
- Schell, J. M., Goodwin, D. S. & Siuda, A. N. S. (2015). Recent *Sargassum* inundation events in the Caribbean: shipboard observations reveal dominance of a previously rare form. *Oceanography*, 28(3): 8-10. S48440
- Shimabukuro, H., Yoshida, G., Kubo, M. & Wada, M. (2015). Water temperature characteristics and the maintenance of *Sargassum piluliferum* (Fucales, Phaeophyceae) in Namako-ike Lake, Kami-Koshiki-shima Island, Kagoshima Prefecture, Japan. *Algal Resources*, 8(2): 147-154. S48156
- Smetacek, V. & Zingone, A. (2013). Green and golden seaweed tides on the rise. *Nature*, 504: 84-88. S48439
- Sugimoto, R., Honda, H., Kobayashi, S., Takao, Y., Tahara, D., Tominaga, O. & Taniguchi, M. (2016). Seasonal changes in submarine groundwater discharge and associated nutrient transport into a tideless semi-enclosed embayment (Obama Bay, Japan). *Estuaries and Coasts*, 39(1): 13-26. S48091
- Suzuki, C. (2016). Assessing change of environmental dynamics by legislation in Japan, using red tide occurrence in Ise Bay as an indicator. *Marine Pollution Bulletin*, 102(2): 283-288. S48348
- Tanaka, K. & Takada, H. (2016). Microplastic fragments and microbeads in digestive tracts of planktivorous fish from urban coastal waters. *Scientific Reports* 6, 34351; doi: 10.1038/srep34351. S48401
- Teixeira-Neves, T. P., Neves, L. M. & Araujo, F. G. (2016). The development of a preliminary rock reef fish multimetric index for assessing thermal and urban impacts in a tropical bay. *Marine Pollution Bulletin*, 109(1): 290-300. S48372
- Tomita, A., Nakura, Y. & Ishikawa, T. (2016). New direction for environmental water management. *Marine Pollution Bulletin*, 102(2): 323-328. S48349
- Tomita, A., Nakura, Y. & Ishikawa, T. (2016). Measures for environmental conservation in enclosed coastal seas. *Marine Pollution Bulletin*, 102(2): 329-332. S48350
- Trivedi, S., Aloufi, A. A., Ansari, A. A. & Ghosh, S. K. (2016). Role of DNA barcoding in marine biodiversity assessment and conservation: An update. *Saudi Journal of Biological Sciences*, 23(2): 161-171. S48296

- Urakawa, L. S., Kurogi, M., Yoshimura, K. & Hasumi, H. (2015). Modeling low salinity waters along the coast around Japan using a high-resolution river discharge dataset. *Journal of Oceanography*, 71(6): 715-739. S48068
- Williams, R., Wright, A. J., Ashe, E., Blight, L. K., Bruintjes, R., Canessa, R., Clark, C. W., Cullis-Suzuki, S., Dakin, D. T., Erbe, C., Hammond, P. S., Merchant, N. D., O'Hara, P. D., Purser, J., Radford, A. N., Simpson, S. D., Thomas, L. & Wale, M. A. (2015). Impacts of anthropogenic noise on marine life: Publication patterns, new discoveries, and future directions in research and management. *Ocean & Coastal Management*, 115: 17-24. S48478
- Yamamoto, H., Yamamoto, T., Mito, Y. & Asaoka, S. (2016). Numerical evaluation of the use of granulated coal ash to reduce an oxygen-deficient water mass. *Marine Pollution Bulletin*, 107(1): 188-205. S48473

生物生理・生態

- 伊賀哲郎(1973). 宍道湖・中海および神西湖のフジツボ類. 山陰文化研究紀要 自然科学編, 13:59-69. S48524
- 石飛 裕・向井哲也・南里敬弘・若林英人・勢村 均・森脇晋平・山室真澄・神谷 弘(2016). 宍道湖におけるヤマトシジミの幼生加入と成長速度に及ぼす塩分の影響. 水産増殖, 64(3):309-319. S48523
- 磯野良介・島 隆夫・渡邊幸彦・長谷川一幸・馬場将輔(2016). アラメ *Eisenia bicyclis* を摂餌したアイゴ *Siganus fuscescens* の成長. 水産工学, 52(3):185-187. S48127
- 大島 廣(1927). 蛤に寄生する海蜘蛛について. 九州帝国大学農学部学芸雑誌, 2:366-379. S48325
- 太田悠造(2014). 外来種ツノオウミセミ *Paracerceis sculpta*(甲殻亜門; ワラジムシ目; コツブムシ科)の報告とクビレヅタへの影響. 日本ベントス学会誌, 69(2):85-89. S48123
- 恩地啓実(2016). チョウセンハマグリの水温・塩分に対する反応行動. あさり勉強会発表資料. S48559
- 鬼倉徳雄・渡辺勝敏(2016). シリーズ 日本の希少魚類の現状と課題. 国内外来種となった絶滅危惧種: その取り扱いと保全をめぐる. 魚類学雑誌, 63(2):143-148. S48519
- 加藤重記・城内辰享(2016). 瀬戸内海中西部の広島県竹原市周辺における海藻相と季節的成長. 藻類, 64(1):1-9. S48157
- 草加耕司・多田幸四郎(2016). コウライアシタカビラメ卵の発生とふ化に及ぼす水温の影響. 水産増殖, 64(3):289-294. S48441
- 田村亮輔・戸田拓磨・竹下文雄・五嶋聖治(2016). 潜砂制限がアサリの成長に及ぼす影響. 日本ベントス学会誌, 70(2): 83-90. S48160
- 中島 泰・今野敏徳(1979). 千葉県小湊の漸深帯に生息するホンダワラ属海藻の成熟・卵放

- 出期間. 藻類, 27(1):53-54. S48544
- 森 誠一・小北智之・松田征也 (2016). シリーズ 日本の希少魚類の現状と課題. 滋賀県ハヨリの危機. 魚類学雑誌, 63(2):148-152. S48519
- 森田晃央・鈴木千恵・久門道彦・道家章生 (2016). 京都府阿蘇海における褐藻ミヤベモク *Sargassum miyabei* の現存量と季節的消長. 水産増殖, 64(1):107-108. S48190
- 和田恵次 (1982). コメツキガニとチゴガニの底質選好性と摂餌活動. 日本ベントス研究会連絡誌, 23:14-26. S48354
- 和田恵次 (1976). 歌川河口におけるスナガニ科 3 種の分布 -底質の粒度との関係を中心にして-. 生理生態, 17:321-326. S48367
- 和田恵次・土屋 誠 (1975). 蒲生干潟における潮位高と底質からみたスナガニ類の分布. 日本生態学会誌, 25(4):235-238. S48353
- Adamczuk, M. (2016). Past, present, and future roles of small cladoceran *Bosmina longirostris* (O. F. Muller, 1785) in aquatic ecosystems. *Hydrobiologia*, 767(1): 1-11. S48103
- Aichelman, H. E., Townsend, J. E., Courtney, T. A., Baumann, J. H., Davies, S. W. & Castillo, K. D. (2016). Heterotrophy mitigates the response of the temperate coral *Oculina arbuscula* to temperature stress. *Ecology and Evolution*, 6(18): 6758-6769. S48400
- Akimova, A., Hufnagl, M., Kreuz, M. & Peck, M. A. (2016). Modeling the effects of temperature on the survival and growth of North Sea cod (*Gadus morhua*) through the first year of life. *Fisheries Oceanography*, 25(3): 193-209. S48272
- Alestra, T. & Schiel, D. R. (2015). Impacts of local and global stressors in intertidal habitats: Influence of altered nutrient, sediment and temperature levels on the early life history of three habitat-forming macroalgae. *Journal of Experimental Marine Biology and Ecology*, 468: 29-36. S48311
- Ariyama, H. & Otani, M. (2004). *Paracerceis sculpta* (Crustacea: Isopoda: Sphaeromatidae), a newly introduced species into Osaka Bay, central Japan. *Benthos Research*, 59(2): 53-59. S48124
- Arula, T., Raid, T., Simm, M. & Ojaveer, H. (2016). Temperature-driven changes in early life-history stages influence the Gulf of Riga spring spawning herring (*Clupea harengus m.*) recruitment abundance. *Hydrobiologia*, 767(1): 125-135. S48109
- Ayala, M. D., Martinez, J. M., Hernandez-Urcera, J. & Cal, R. (2016). Effect of the early temperature on the growth of larvae and postlarvae turbot, *Scophthalmus maximus* L.: muscle structural and ultrastructural study. *Fish Physiology and Biochemistry*, 42(3): 1027-1042. S48315
- Backiel, T., Kokurewicz, B. & Ogorzalek, A. (1984). High incidence of skeletal anomalies in carp, *Cyprinus carpio*, reared in cages in flowing water. *Aquaculture*, 43(4): 369-380. S48320
- Bi, Y., Feng, M., Jiang, R., Wu, Z., Zhang, S. & Wang, W. (2016). The effects of sediment on

- Sargassum horneri* in the early life stages on rocky subtidal reefs. *Aquatic Botany*, 132: 17-23. S48279
- Christy, J. H. (1987). Female choice and the breeding behavior of the fiddler crab *Uca beebei*. *Journal of Crustacean Biology*, 7(4): 624-635. S48359
- Coelho, S. M., Rijstenbil, S. M. & Brown, M. T. (2000). Impacts of anthropogenic stresses on the early development stages of seaweeds. *Journal of Aquatic Ecosystem Stress and Recovery*, 7(4): 317-333. S48426
- Collin, R. & Chan, K. Y. K. (2016). The sea urchin *Lytechinus variegatus* lives close to the upper thermal limit for early development in a tropical lagoon. *Ecology and Evolution*, 6(16): 5623-5634. S48337
- Cui, J., Zhang, J., Huo, Y., Zhou, L., Wu, Q., Chen, L., Yu, K. & He, P. (2015). Adaptability of free-floating green tide algae in the Yellow Sea to variable temperature and light intensity. *Marine Pollution Bulletin*, 101(2): 660-666. S48096
- Delebecq, G., Davoult, D., Janquin, M.-A., Oppliger, L. V., Menu, D., Dauvin, J.-C. & Gevaert, F. (2016). Photosynthetic response to light and temperature in *Laminaria digitata* gametophytes from two French populations. *European Journal of Phycology*, 51(1): 71-82. S48089
- Di Santo, V. D. & Lobel, P. S. (2017). Body size and thermal tolerance in tropical gobies. *Journal of Experimental Marine Biology and Ecology*, 487: 11-17. S48491
- Doi, W., Inuma, Y., Yokota, M. & Watanabe, S. (2009). Comparative feeding behavior of invasive (*Carcinus aestuarii*) and native crabs (*Hemigrapsus takanoi*). *Crustacean Research*, 38: 1-11. S48125
- Drost, H. E., Fisher, J., Randall, F., Kent, D., Carmack, E. C. & Farrell, A. P. (2016). Upper thermal limits of the hearts of Arctic cod *Boreogadus saida*: adults compared with larvae. *Journal of Fish Biology*, 88(2): 718-726. S48146
- Eads, A. R., Evans, J. P. & Kennington, W. J. (2016). Plasticity of fertilization rates under varying temperature in the broadcast spawning mussel, *Mytilus galloprovincialis*. *Ecology and Evolution*, 6(18): 6578-6585. S48399
- Edwards, K. F., Thomas, M. K., Klausmeier, C. A. & Litchman, E. (2016). Phytoplankton growth and the interaction of light and temperature: A synthesis at the species and community level. *Limnology and Oceanography*, 61(4): 1232-1244. S48483
- Engelen, A. H., Serebryakova, A., Ang, P., Britton-Simmons, K., Mineur, F., Pedersen, M. F., Arenas, F., Fernandez, C., Steen, H., Svenson, R., Pavia, H., Toth, G., Viard, F. & Santos, R. (2015). Circumglobal invasion by the brown seaweed *Sargassum muticum*. *Oceanography and Marine Biology, An Annual Review*, 53: 81-126. S48126
- Ern, R., Norin, T., Gamperl, A. K. & Esbaugh, A. J. (2016). Oxygen-dependence of upper thermal limits in fishes. *Journal of Experimental Biology*, 219(21): 3376-3383. S48501

- Ferreira, P., Fonte, E., Soares, M. E., Carvalho, F. & Guilhermino, L. (2016). Effects of multi-stressors on juveniles of the marine fish *Pomatoschistus microps*: Gold nanoparticles, microplastics and temperature. *Aquatic Toxicology*, 170: 89-103. S48114
- Figurski, J. D., Freiwald, J., Lonhart, S. I. & Storlazzi, C. D. (2016). Seasonal sediment dynamics shape temperate bedrock reef communities. *Marine Ecology Progress Series*, 552: 19-29. S48428
- Foster, T. & Gilmour, J. P. (2016). Seeing red: Coral larvae are attracted to healthy-looking reefs. *Marine Ecology Progress Series*, 559: 65-71. S48485
- Gao, X., Endo, H., Nagaki, M. & Agatsuma, Y. (2016). Growth and survival of juvenile sporophytes of the kelp *Ecklonia cava* in response to different nitrogen and temperature regimes. *Fisheries Science*, 82(4): 623-629. S48310
- Garrido, S., Cristovao, A., Caldeira, C., Ben-Hamadou, R., Baylina, N., Batista, H., Saiz, E., Peck, M. A., Re, P. & Santos, A. M. P. (2016). Effect of temperature on the growth, survival, development and foraging behaviour of *Sardina pilchardus* larvae. *Marine Ecology Progress Series*, 559: 131-145. S48476
- Georgiou, D., Alexandre, A., Luis, J. & Santos, R. (2016). Temperature is not a limiting factor for the expansion of *Halophila stipulacea* throughout the Mediterranean Sea. *Marine Ecology Progress Series*, 544: 159-167. S48148
- Gleason, L. U. & Burton, R. S. (2016). Regional patterns of thermal stress and constitutive gene expression in the marine snail *Chlorostoma funebralis* in northern and southern California. *Marine Ecology Progress Series*, 556: 143-159. S48392
- Guevara-Fletcher, C., Alvarez, P., Sanchez, J. & Iglesias, J. (2015). Effect of temperature on the development and mortality of European hake (*Merluccius merluccius* L.) eggs from southern stock under laboratory conditions. *Journal of Experimental Marine Biology and Ecology*, 476: 50-57. S48098
- Haglund, K., Bjorklund, M., Gunnare, S., Sandberg, A., Olander, U. & Pedersen, M. (1996). New method for toxicity assessment in marine and brackish environments using the macroalga *Gracilaria tenuistipitata* (Gracilariales, Rhodophyta). *Hydrobiologia*, 326: 317-325. S48083
- Hammann, M., Wang, G., Boo, S. M., Aguilar-Rosas, L. E. & Weinberger, F. (2016). Selection of heat-shock resistance traits during the invasion of the seaweed *Gracilaria vermiculophylla*. *Marine Biology*, 163: 104. S48197
- Hamza, W., Bogardus, R., Ahmadani, A., Meskari, R. A. & Hashmi, A. A. (2016). Effects of temperature and substrate variations on vegetative growth of spores of the brown alga *Sargassum echinocarpum* J. Agardh under laboratory conditions. *Journal of Applied Phycology*, 28(3): 1827-1833. S48247
- Hirst, A. J. & Jenkins, G. P. (2017). Experimental test of N-limitation for *Zostera nigricaulis*

- seagrass at three sites reliant upon very different sources of N. *Journal of Experimental Marine Biology and Ecology*, 486: 204-213. S48494
- Jia, Y., Wang, J., Liu, G. & Sun, J. (2015). Effect of high temperature stress on growth and survival of juvenile *Haliotis discus hannai* Ino. *South China Fisheries Science*, 11(1): 96-100. S48376
- James, K. & Shears, N. T. (2016). Population ecology of the invasive kelp *Undaria pinnatifida* towards the upper extreme of its temperature range. *Marine Biology*, 163: 225. S48446
- James, K. & Shears, N. T. (2016). Proliferation of the invasive kelp *Undaria pinnatifida* at aquaculture sites promotes spread to coastal reefs. *Marine Biology*, 163(2): 34. S48085
- Jiang, W., Li, J., Gao, Y., Mao, Y., Jiang, Z., Du, M., Zhang, Y. & Fang, J. (2016). Effects of temperature change on physiological and biochemical responses of Yesso scallop, *Patinopecten yessoensis*. *Aquaculture*, 451: 463-472. S48073
- Jurgens, L. J. & Gaylord, B. (2016). Edge effects reverse facilitation by a widespread foundation species. *Scientific Report*, 6, 37573; doi: 10.1038/srep37573. S48490
- Kam, Y. L. K. & Ang, P. O. (2016). Phenology and experimental evaluation of temperature as a triggering factor for reproduction in *Sargassum hemiphyllum*. *Journal of Applied Phycology*, 28(4): 2459-2470. S48318
- Kang, Y.-H., Choo, H.-S., Sin, J.-A. & Lee, C. (2016). Numerical modeling of propagule dispersal for *Sargassum* bed restoration in Gamak Bay, Korea. *Journal of Applied Phycology*, 28(3): 1859-1874. S48245
- Kato, A., Baba, M., Matsuda, S. & Iryu, Y. (2016). Western Pacific. In "Rhodolith/maërl beds: A global perspective", (eds. Riosmena-Rodriguez, R., Nelson, W. & Aguirre, J.), Springer International Publishing, Switzerland, 335-347. S48449
- Kerrison, P. & Le, H. N. (2016). Environmental factors on egg liberation and germling production of *Sargassum muticum*. *Journal of Applied Phycology*, 28(1): 481-489. S48110
- Kikuchi, T. (1976). Rediscovery of the bivalve-infesting pycnogonida, *Nymphonella tapetis* Ohshima 1927, in Amakusa. *Publications of Amakusa Marine Biological Laboratory*, 4(1): 51-56. S48331
- Kim, J. K., Yarish, C. & Pereira, R. (2016). Tolerances to hypo-osmotic and temperature stresses in native and invasive species of *Gracilaria* (Rhodophyta). *Phycologia*, 55(3): 257-264. S48193
- Kobayashi, S., Wada, M., Fujimoto, R., Kumazawa, Y., Arai, K., Watanabe, G. & Saito, T. (2017). The effects of nest incubation temperature on embryos and hatchlings of the loggerhead sea turtle: Implications of sex difference for survival rates during early life stages. *Journal of Experimental Marine Biology and Ecology*, 486: 274-281. S48469
- LaScala-Gruenewald, D. E., Miller, L. P., Bracken, M. E. S., Allen, B. J. & Denny, M. W. (2016). Quantifying the top-down effects of grazers on a rocky shore: selective grazing and the potential for competition. *Marine Ecology Progress Series*, 553: 49-66. S48303

- Lathlean, J. A., Seuront, L., McQuaid, C. D., Ng, T. P. T., Zardi, G. I. & Nicastro, K. R. (2016). Size and position (sometimes) matter: small-scale patterns of heat stress associated with two co-occurring mussels with different thermoregulatory behaviour. *Marine Biology*, 163: 189. S48402
- Lee, A. H., Eme, J., Mueller, C. A., Manzon, R. G., Somers, C. M., Boreham, D. R. & Wilson, J. Y. (2016). The effects of increased constant incubation temperature and cumulative acute heat shock exposures on morphology and survival of Lake Whitefish (*Coregonus clupeaformis*) embryos. *Journal of Thermal Biology*, 57: 11-20. S48458
- Lezin, P. & Flyachinskaya, L. (2015). Shell sculpture formation in bivalves of the genus *Hiatella* under different temperature conditions. *Journal of the Marine Biological Association of the United Kingdom*, 95(8): 1621-1627. S48077
- Li, H., Zhang, Y., Han, X., Shi, X., Rivkin, R. B. & Legendre, L. (2016). Growth responses of *Ulva prolifera* to inorganic and organic nutrients: Implications for macroalgal blooms in the southern Yellow Sea, China. *Scientific Reports*, 6, 26498; doi: 10.1038/srep26498. S48286
- Liversage, K. (2016). The influence of boulder shape on the spatial distribution of crustose coralline algae (Corallinales, Rhodophyta). *Marine Ecology*, 37(2): 459-462. S48266
- Macho, G., Woodin, S. A., Wethey, D. S. & Vazquez, E. (2016). Impacts of sublethal and lethal high temperatures on clams exploited in European fisheries. *Journal of Shellfish Research*, 35(2): 405-419. S48442
- Maneiro, V., Perez-Paralle, M. L., Pazos, A. J., Silva, A. & Sanchez, J. L. (2016). Combined effects of temperature and photoperiod on the conditioning of the flat oyster (*Ostrea edulis* [Linnaeus, 1758]) in winter. *Journal of Shellfish Research*, 35(1): 137-141. S48290
- Martins, G. M., Hipolito, C., Parreira, F., Prestes, A. C. L., Dionisio, M. A., Azevedo, J. M. N. & Neto, A. I. (2016). Differences in the structure and functioning of two communities: Frondose and turf-forming macroalgal dominated habitats. *Marine Environmental Research*, 116: 71-77. S48265
- McCoy, S. J., Pfister, C. A., Olack, G. & Colman, A. S. (2016). Diurnal and tidal patterns of carbon uptake and calcification in geniculate inter-tidal coralline algae. *Marine Ecology - An Evolutionary Perspective*, 37(3): 553-564. S48317
- Machado, G. B.O., Siqueira, S. G. L. & Leite, F. P. P. (2017). Abundance, performance, and feeding preference of herbivorous amphipods associated with a host alga-epiphyte system. *Journal of Experimental Marine Biology and Ecology*, 486: 328-335. S48495
- Meiqin, C. & Guozhong, R. (1987). The effect of temperature on the early growth and development of sporelings of *Gracilaria asiatica* Zhang and Xia. *Oceanologia et Limnologia Sinica*, 1987(3): 301-308. S48409
- Morelissen, B., Dudley, B. D. & Phillips, N. E. (2016). Recruitment of the invasive kelp *Undaria*

- pinnatifida* does not always benefit from disturbance to native algal communities in low-intertidal habitats. *Marine Biology*, 163: 241. S48461
- Mortensen, B. J. D. & Dunphy, B. J. (2016). Effect of tidal regime on the thermal tolerance of the marine gastropod *Lunella smaragda* (Gmelin 1791). *Journal of Thermal Biology*, 60: 186-194. S48405
- Muangmai, N., Vo, T. D. & Kawaguchi, S. (2014). Seasonal fluctuation in a marine red alga, *Gracilaria vermiculophylla* (Gracilariales, Rhodophyta), from Nokonoshima Island, southern Japan. *Journal of the Faculty of Agriculture, Kyushu University*, 59(2): 243-248. S48388
- Nakajima, N., Sugimoto, N., Ohki, K. & Kamiya, M. (2016). Diversity of phlorotannin profiles among sargassacean species affecting variation and abundance of epiphytes. *European Journal of Phycology*, 51(3): 307-316. S48309
- Nasrolahi, A., Havenhand, J., Wrangle, A.-L. & Pansch, C. (2016). Population and life-stage specific sensitivities to temperature and salinity stress in barnacles. *Scientific Reports*, 6, 32263; doi: 10.1038/srep32263. S48375
- Nishizaki, M. T. & Carrington, E. (2015). The effect of water temperature and velocity on barnacle growth: Quantifying the impact of multiple environmental stressors. *Journal of Thermal Biology*, 54: 37-46. S48069
- Ohshima, H. (1933). The adult of the bivalve-infesting pycnogonid, *Nymphonella tapetis* Ohshima. *Annotationes Zoologicae Japonenses*, 14: 53-60. S48327
- Ohshima, H. (1935). A further note on *Nymphonella tapetis*: The egg-carrying mature male (Eurycydidae: Pantopoda). *Annotationes Zoologicae Japonenses*, 15: 95-102. S48328
- Okamoto, K. (2008). Japanese nephropid lobster *Metanephrops japonicus* lacks zoeal stage. *Fisheries Science*, 74(1): 98-103. S48135
- Palomo, M. G., Bagur, M., Quiroga, M., Soria, S. & Bugnot, A. (2016). Ecological impacts of two non-indigenous macroalgae on an urban rocky intertidal shore. *Marine Biology*, 163: 178. S48323
- Pascal, L. & Chong, V. C. (2016). Does developmental temperature modulate copepods respiratory activity through adult life? *Journal of Plankton Research*, 38(5): 1215-1224. S48453
- Pasparakis, C., Davis, B. E. & Todgham, A. E. (2016). Role of sequential low-tide-period conditions on the thermal physiology of summer and winter laboratory-acclimated fingered limpets, *Lottia digitalis*. *Marine Biology*, 163(2): 23. S48087
- Paul, S. & Calliari, D. (2017). Salinity and temperature tolerances of *Neomysis americana* (Crustacea: Mysida) sub adults: Perspectives on vulnerability, and distribution in South America. *Journal of Experimental Marine Biology and Ecology*, 486: 373-378. S48496
- Pedersen, M. F., Johnsen, K. L., Halle, L. L., Karling, N. D. & Salo, T. (2016). Enemy release an unlikely explanation for the invasive potential of the brown alga *Sargassum muticum*:

- experimental results, literature review and meta-analysis. *Marine Biology*, 163: 197. S48381
- Pereira, K. C., Costa, P. M., Costa, M. H., Luque, A., DelValls, T. A. & Lopez, I. R. (2016). Effects of the increase of temperature and CO₂ concentration on polychaetae *Nereis diversicolor*: simulating extreme scenarios of climate change in marine sediments. *Hydrobiologia*, 772(1): 161-174. S48261
- Pineiro-Corbeira, C., Barreiro, R. & Cremades, J. (2016). Decadal changes in the distribution of common intertidal seaweeds in Galicia (NW Iberia). *Marine Environmental Research*, 113: 106-115. S48111
- Pinho, D., Bertocci, I., Arenas, F., Franco, J. N., Jacinto, D., Castro, J. J., Vieira, R., Sousa-Pinto, I., Wernberg, T. & Tuya, F. (2016). Spatial and temporal variation of kelp forests and associated macroalgal assemblages along the Portuguese coast. *Marine and Freshwater Research*, 67(1): 113-122. S48075
- Ponton, D., Carassou, L., Raillard, S. & Borsa, P. (2013). Geometric morphometrics as a tool for identifying emperor fish (Lethrinidae) larvae and juveniles. *Journal of Fish Biology*, 83(1): 14-27. S48116
- Pribyl, A. L., Hyde, J. R., Robertson, L. & Vetter, R. (2016). Defining an ideal temperature range for the northern subpopulation of Pacific sardine, *Sardinops sagax caeruleus*. *Environmental Biology of Fishes*, 99(2-3): 275-291. S48259
- Ravaux, J., Leger, N., Rabet, N., Fourgous, C., Voland, G., Zbinden, M. & Shillito, B. (2016). Plasticity and acquisition of the thermal tolerance (upper thermal limit and heat shock response) in the intertidal species *Palaemon elegans*. *Journal of Experimental Marine Biology and Ecology*, 484: 39-45. S48389
- Ritson-Williams, R., Arnold, S. N. & Paul, V. J. (2016). Patterns of larval settlement preferences and post settlement survival for seven Caribbean corals. *Marine Ecology Progress Series*, 548: 127-138. S48210
- Rodgers, K. L. & Shears, N. T. (2016). Modelling kelp forest primary production using in situ photosynthesis, biomass and light measurements. *Marine Ecology Progress Series*, 553: 67-79. S48314
- Rodriguez-Prieto, C. (2016). Light and temperature requirements for survival, growth and reproduction of the crustose coralline *Lithophyllum stictaeforme* from the Mediterranean Sea. *Botanica Marina*, 59(2-3): 95-104. S48280
- Rodriguez-Troncoso, A. P., Carpizo-Ituarte, E. & Cupul-Magana, A. L. (2016). Physiological response to high temperature in the tropical Eastern Pacific coral *Pocillopora verrucosa*. *Marine Ecology*, 37(5): 1168-1175. S48457
- Rybovich, M., Peyre, M. K. L., Hall, S. G. & Peyre, J. F. L. (2016). Increased temperatures combined with lowered salinities differentially impact oyster size class growth and mortality.

- Journal of Shellfish Research, 35(1): 101-113. S48281
- Sun, Z., Cai, C., Liu, Z., Peng, Z. & Bai, C. (2015). Effect of temperature on growth and survival of juvenile *Lutraria sieboldii*. South China Fisheries Science, 11(1): 39-44. S48377
- Suzuki, H. & Kikuchi T. (1990). Spatial distribution and recruitment of pelagic larvae of sand bubbler crab, *Scopimera globosa*. La mer, 28(4): 172-179. S48356
- Sato, N., Takeshita, F., Fujiwara, E. & Kasugai, T. (2016). Japanese pygmy squid (*Idiosepius paradoxus*) use ink for predation as well as for defence. Marine Biology, 163: 56. S48188
- Schmidt, G. M., Wall, M., Taylor, M., Jantzen, C. & Richter, C. (2016). Large-amplitude internal waves sustain coral health during thermal stress. Coral Reefs, 35(3): 869-881. S48373
- Schwartz, N., Rohde, S., Hiromori, S. & Schupp, P. J. (2016). Understanding the invasion success of *Sargassum muticum*: herbivore preferences for native and invasive *Sargassum* spp. Marine Biology, 163: 181. S48324
- Smale, D. A. & Moore, P. J. (2017). Variability in kelp forest structure along a latitudinal gradient in ocean temperature. Journal of Experimental Marine Biology and Ecology, 486: 255-264. S48468
- Smith, A. M., Clark, D. E., Lamare, M. D., Winter, D. J. & Byrne, M. (2016). Risk and resilience: variations in magnesium in echinoid skeletal calcite. Marine Ecology Progress Series, 561: 1-16. S48547
- Smolina, I., Kollias, S., Jueterbock, A., Coyer, J. A. & Hoarau, G. (2016). Variation in thermal stress response in two populations of the brown seaweed, *Fucus distichus*, from the Arctic and subarctic intertidal. Royal Society open science, 3: 150429. S48435
- Sokolowski, A., Brulinska, D., Olenycz, M. & Wolowicz, M. (2016). Does temperature and salinity limit asexual reproduction of *Aurelia aurita* polyps (Cnidaria: Scyphozoa) in the Gulf of Gdansk (southern Baltic Sea)? An experimental study. Hydrobiologia, 773(1): 49-62. S48260
- Song, J. N., Park, K., Heo, J. S., Oh, J. C., Kim, Y. S., Choi, H. G. & Nam, K. W. (2013). Effects of temperature on the spore release and growth of *Lithophyllum yessoense* and *Hildenbrandia rubra*. Korean Journal of Aquatic Science, 46(3): 296-302. S48299
- Spies, B. T. & Steele, M. A. (2016). Effects of temperature and latitude on larval traits of two estuarine fishes in differing estuary types. Marine Ecology Progress Series, 544: 243-255. S48147
- Stafford-Bell, R. E., Chariton, A. A. & Robinson, R. W. (2016). Germination and early-stage development in the seagrass, *Zostera muelleri* Irmisch ex Asch. in response to multiple stressors. Aquatic Botany, 128: 18-25. S48072
- Stickle, W. B., Lindeberg, M., Rice, S. D., Munley, K. & Reed, V. (2016). Seasonal changes in the thermal regime and gastropod tolerance to temperature and desiccation stress in the rocky intertidal zone in Southeast Alaska. Journal of Experimental Marine Biology and Ecology,

482: 56-63. S48257

- Terada, R., Shikada, S., Watanabe, Y., Nakazaki, Y., Matsumoto, K., Kozono, J., Saino, N. & Nishihara, G. N. (2016). Effect of PAR and temperature on the photosynthesis of the Japanese alga, *Ecklonia radicata* (Laminariales), based on field and laboratory measurements. *Phycologia*, 55(2): 178-186. S48118
- Thibaut, T., Blanfune, A., Verlaque, M., Boudouresque, C.-F. & Ruitton, S. (2016). The *Sargassum* conundrum: very rare, threatened or locally extinct in the NW Mediterranean and still lacking protection. *Hydrobiologia*, 781(1): 3-23. S48471
- Titelboim, D., Almogi-Labin, A., Herut, B., Kucera, M., Schmidt, C., Hyams-Kaphzan, O., Ovadia, O. & Abramovich, S. (2016). Selective responses of benthic foraminifera to thermal pollution. *Marine Pollution Bulletin*, 105(1): 324-336. S48363
- Tomiyama, T. (2016). Quantitative regeneration in bivalve siphons: difference between short- and long-siphoned species. *Marine Biology*, 163: 80. S48207
- Tsoukali, S., Visser, A. W. & MacKenzie, B. R. (2016). Functional responses of North Atlantic fish eggs to increasing temperature. *Marine Ecology Progress Series*, 555: 151-165. S48333
- Vikingsstad, E., Andersson, E., Hansen, T. J., Norberg, B., Mayer, I., Stefansson, S. O., Fjellidal, P. G. & Taranger, G. L. (2016). Effects of temperature on the final stages of sexual maturation in Atlantic salmon (*Salmo salar* L.). *Fish Physiology and Biochemistry*, 42(3): 895-907. S48316
- Wada, K. (1983). Spatial distributions and population structures in *Scopimera globosa* and *Ilyoplax pusillus* (Decapoda: Ocypodidae). *Publications of the Seto Marine Biological Laboratory*, 27(4-6): 281-291. S48357
- Wada, K. (1983). Temporal changes of spatial distributions of *Scopimera globosa* and *Ilyoplax pusillus* (Decapoda: Ocypodidae) at co-occurring areas. *Japanese Journal of Ecology*, 33(1): 1-9. S48420
- Wada, K. (1986). Burrow usurpation and duration of surface activity in *Scopimera globosa* (Crustacea: Brachyura : Ocypodidae). *Publications of the Seto Marine Biological Laboratory*, 31(3-6): 327-332. S48358
- Wada, K. (1993). Territorial behavior, and sizes of home range and territory, in relation to sex and body size in *Ilyoplax pusilla* (Crustacea: Brachyura: Ocypodidae). *Marine Biology*, 115(1): 47-52. S48355
- Watanabe, H., Ito, M., Matsumoto, A. & Arakawa, H. (2016). Effects of sediment influx on the settlement and survival of canopy-forming macrophytes. *Scientific Reports*, 6: 18677; doi 10.1038/srep18677. S48427
- Wernberg, T., de Bettignies, T., Joy, B. A. & Finnegan, P. M. (2016). Physiological responses of habitat-forming seaweeds to increasing temperatures. *Limnology and Oceanography*, 61(6): 2180-2190.

- Werner, F. J., Graiff, A. & Matthiessen, B. (2016). Temperature effects on seaweed-sustaining top-down control vary with season. *Oecologia*, 180(3): 889-901. S48486
- Widmer, C. L., Fox, C. J. & Brierley, A. S. (2016). Effects of temperature and salinity on four species of northeastern Atlantic scyphistomae (Cnidaria: Scyphozoa). *Marine Ecology Progress Series*, 559: 73-88. S48484
- Wright, P. J., Orpwood, J. E. & Scott, B. E. (2017). Impact of rising temperature on reproductive investment in a capital breeder: The lesser sandeel. *Journal of Experimental Marine Biology and Ecology*, 486: 52-58. S48492
- Xu, M., Sakamoto, S. & Komatsu, T. (2016). Attachment strength of the subtidal seaweed *Sargassum horneri* (Turner) C. Agardh varies among development stages and depths. *Journal of Applied Phycology*, 28(6): 3679-3687. S48545
- Yamaguchi, T., Prabowo, R. E., Ohshiro, Y., Shimono, T., Jones, D., Kawai, H., Otani, M., Oshino, A., Inagawa, S., Akaya, T. & Tamura, I. (2009). The introduction to Japan of the Titan barnacle, *Megabalanus coccopoma* (Darwin, 1854) (Cirripedia: Balanomorpha) and the role of shipping in its translocation. *Biofouling*, 25(4): 325-333. S48508
- Yin, X.-W., Tan, B.-B., Zhou, Y.-C., Li, X.-C. & Liu, W. (2016). Development time of male and female rotifers with sexual size dimorphism. *Hydrobiologia*, 767(1): 27-35. S48117
- Yoshida, G. & Shimabukuro, H. (2016). Seasonal population dynamics of *Sargassum fusiforme* (Fucales, Phaeophyta), Suo-Oshima Is., Seto Inland Sea, Japan—development processes of a stand characterized by high density and productivity. *Journal of Applied Phycology*, doi: 10.1007/s10811-016-0951-z. S48434
- Yoshida, G., Shimabukuro, H. & Sakanishi, Y. (2015). Effect of temperature on the shoot growth of *Sargassum muticum* under laboratory culture conditions. *Algal Resources*, 8(2): 121-127. S48155
- Zhang, J., Kim, J. K., Yarish, C. & He, P. (2016). The expansion of *Ulva prolifera* O.F. Muller macroalgal blooms in the Yellow Sea, PR China, through asexual reproduction. *Marine Pollution Bulletin*, 104(1-2): 101-106. S48271
- Zhou, X., He, L., Wu, X., Zhong, Y., Zhang, J., Wang, Y., Wang, B., Xu, Z. & Qiu, S. (2016). Phytoplankton community diversity is influenced by environmental factors in the coastal East China Sea. *European Journal of Phycology*, 51(1): 107-118. S48090
- Zuljevic, A., Peters, A. F., Nikolic, V., Antolic, B., Despalatovic, M., Cvitkovic, I., Isajlovic, I., Mihanovic, H., Matijevic, S., Shewring, D. M., Canese, S., Katsaros, C. & Kupper, F. C. (2016). The Mediterranean deep-water kelp *Laminaria rodriguezii* is an endangered species in the Adriatic Sea. *Marine Biology*, 163: 69. S48175

気候変動・地球温暖化・海洋酸性化

- 清本節夫(2016). 高水温条件下の藻場と暖海系アワビ類の変遷 -暖海系アワビ類に対する海水温上昇の影響について-. 豊かな海, (38):53-56. S48185
- 鈴木元気・牧野史弥・早川和一・東出幸真・達 克幸・坂井恵一(2013). のと海洋ふれあいセンターが観測した沿岸水の pH 低下について. のと海洋ふれあいセンター研究報告, (19):1-6. S48186
- 西田 梢・Chew, Y. C.・横山祐典・鈴木 淳・宮入陽介・平林頌子・林 正裕・野尻幸宏(2016). 放射性炭素同位体および炭素安定同位体による二枚貝類の殻・軟体部の炭素源の推定と海洋酸性化影響の評価. 2016 年度 日本地球化学会年会発表資料. S48398
- 西田 梢・名越丹理・鈴木 淳・入江貴博・林 正裕・山本雄三・諏訪僚太・渡邊祐介・吉川貴志・佐藤瑞穂・中島 礼・野尻幸宏・川幡穂高 (2016). アワビ類 2 種の殻・軟体部成長, 貝殻の安定同位体組成への海洋酸性化影響. 日本地球惑星科学連合 2016 年大会発表資料. S48250
- 西田 梢・林 正裕・名越丹理・川幡穂高・佐藤瑞穂・鈴木 淳(2016). 軟体動物殻の同位体分別への酸性化影響: 海水の炭酸系および代謝影響に注目して. 日本地球惑星連合 2016 年大会発表資料. S48249
- 西田 梢・林 正裕・名越丹理・川幡穂高・鈴木 淳(2015). 二枚貝殻の酸素・炭素安定同位体比分別への pH 影響 -飼育実験による検証と今後の課題-. 第 10 回バイオミネラリゼーションワークショップ発表資料. S48081
- 西田 梢・林 正裕・名越丹理・川幡穂高・鈴木 淳(2016). 貝類の炭酸塩殻の酸素・炭素安定同位体比分別への海洋酸性化影響. 日本古生物学会第 165 回例会発表資料. S48082
- 西田 梢・林 正裕・鈴木 淳・佐藤瑞穂・野尻幸宏(2016). 酸性化条件下における二枚貝殻の酸素・炭素同位体応答. 日本地質学会第 123 年学術大会発表資料. S48397
- 林 正裕・山本雄三・諏訪僚太・吉川貴志・渡邊裕介・西田 梢・鈴木 淳・野尻幸宏(2017). 水産有用種への海洋酸性化影響. 月刊地球, 39(1): 5-11. S48557
- 芳村 毅・野尻幸宏・大森裕子・谷本浩志・清沢弘志・吉川貴志(2016). 夏季の日本海沿岸域のプランクトン群集に対する水温および CO₂ 分圧の増加の影響評価. 日本海洋学会 2016 年度春季大会発表資料. S48270
- Adey, W., Halfar, J., Humphreys, A., Suskiewicz, T., Belanger, D., Gagnon, P. & Fox, M. (2015). Subarctic rhodolith beds promote longevity of crustose coralline algal buildups and their climate archiving potential. *Palaios*, 30(4): 281-293. S48268
- Aguilera, V. M., Vargas, C. A., Lardies, M. A. & Poupin, M. J. (2016). Adaptive variability to low-pH river discharges in *Acartia tonsa* and stress responses to high pCO₂ conditions. *Marine Ecology*, 37: 215-226. S48115
- Al-Jaabi, B., Kruse, I., Graiff, A. & Wahl, M. (2016). Buffering and amplifying interactions among OAW (ocean acidification & warming) and nutrient enrichment on early life-stage *Fucus*

- vesiculosus* L. (Phaeophyceae) and their carry over effects to hypoxia impact. PLoS ONE, 11(4): e0152948, doi: 10.1371/journal.pone.0152948. S48424
- Al-Jaabi, B., Kruse, I., Graiff, A. & Wahl, M. (2016). Genotypic variation influences tolerance to warming and acidification of early life-stage *Fucus vesiculosus* L. (Phaeophyceae) in a seasonally fluctuating environment. Marine Biology, 163: 14. S48425
- Assis, J., Lucas, A. V., Barbara, I. & Serrao, E. A. (2016). Future climate change is predicted to shift long-term persistence zones in the cold-temperate kelp *Laminaria hyperborea*. Marine Environmental Research, 113: 174-182. S48112
- Bahr, K. D., Jokiel, P. L. & Rodgers, K. S. (2016). Relative sensitivity of five Hawaiian coral species to high temperature under high- $p\text{CO}_2$ conditions. Coral Reefs, 35(2): 729-738. S48241
- Baragi, L. V. & Anil, A. C. (2016). Synergistic effect of elevated temperature, $p\text{CO}_2$ and nutrients on marine biofilm. Marine Pollution Bulletin, 105(1): 102-109. S48365
- Baragi, L. V., Khandeparker, L. & Anil, A. C. (2015). Influence of elevated temperature and $p\text{CO}_2$ on the marine periphytic diatom *Navicula distans* and its associated organisms in culture. Hydrobiologia, 762(1): 127-142. S48074
- Beck, H. J., Feary, D. A., Fowler, A. M., Madin, E. M. P. & Booth, D. J. (2016). Temperate predators and seasonal water temperatures impact feeding of a range expanding tropical fish. Marine Biology, 163: 70. S48179
- Benitez, S., Duarte, C., Lopez, J., Manriquez, P. H., Navarro, J. M., Bonta, C. C., Torres, R. & Quijon, P. A. (2016). Ontogenetic variability in the feeding behavior of a marine amphipod in response to ocean acidification. Marine Pollution Bulletin, 112(1-2): 375-379. S48552
- Bennett, S., Wernberg, T., Joy, B. A., de Bettignies, T. & Campbell, A. H. (2015). Central and rear-edge populations can be equally vulnerable to warming. Nature Communications, 6: 10280. S48384
- Britton, D., Cornwall, C. E., Revill, A. T., Hurd, C. L. & Johnson, C. R. (2016). Ocean acidification reverses the positive effects of seawater pH fluctuations on growth and photosynthesis of the habitat-forming kelp, *Ecklonia radiata*. Scientific Reports, 6, 26036; doi: 10.1038/srep26036. S48288
- Broszeit, S., Hattam, C. & Beaumont, N. (2016). Bioremediation of waste under ocean acidification: Reviewing the role of *Mytilus edulis*. Marine Pollution Bulletin, 103(1-2): 5-14. S48274
- Browman, H. I. (2016). Applying organized scepticism to ocean acidification research. ICES Journal of Marine Science, 73(3): 529-536. S48221
- Butzin, M. & Portner, H.-O. (2016). Thermal growth potential of Atlantic cod by the end of the 21st century. Global Change Biology, 22(12): 4162-4168. S48542
- Campanati, C., Yip, S., Lane, A. & Thiyagarajan, V. (2016). Combined effects of low pH and low

- oxygen on the early-life stages of the barnacle *Balanus amphitrite*. ICES Journal of Marine Science, 73(3): 791-802. S48237
- Campbell, A. L., Levitan, D. R., Hosken, D. J. & Lewis, C. (2016). Ocean acidification changes the male fitness landscape. Scientific Reports, 6, 31250; doi: 10.1038/srep31250. S48340
- Campbell, J. E., Fisch, J., Langdon, C. & Paul, V. J. (2016). Increased temperature mitigates the effects of ocean acidification in calcified green algae (*Halimeda* spp.). Coral Reefs, 35(1): 357-368. S48150
- Carey, N., Dupont, S. & Sigwart, J. D. (2016). Sea hare *Aplysia punctata* (Mollusca: Gastropoda) can maintain shell calcification under extreme ocean acidification. Biological Bulletin, 231(2): 142-151. S48518
- Chan, K. Y. K., Grunbaum, D., Arnberg, M. & Dupont, S. (2016). Impacts of ocean acidification on survival, growth, and swimming behaviours differ between larval urchins and brittlestars. ICES Journal of Marine Science, 73(3): 951-961. S48227
- Clark, H. R. & Gobler, C. J. (2016). Diurnal fluctuations in CO₂ and dissolved oxygen concentrations do not provide a refuge from hypoxia and acidification for early-life-stage bivalves. Marine Ecology Progress Series, 558: 1-14. S48447
- Clements, J. C., Woodard, K. D. & Hunt, H. L. (2016). Porewater acidification alters the burrowing behavior and post-settlement dispersal of juvenile soft-shell clams (*Mya arenaria*). Journal of Experimental Marine Biology and Ecology, 477: 103-111. S48198
- Collard, M., Rastrick, S. P. S., Calosi, P., Demolder, Y., Dille, J., Findlay, H. S., Hall-Spencer, J. M., Milazzo, M., Moulin, L., Widdicombe, S., Dehairs, F. & Dubois, P. (2016). The impact of ocean acidification and warming on the skeletal mechanical properties of the sea urchin *Paracentrotus lividus* from laboratory and field observations. ICES Journal of Marine Science, 73(3): 727-738. S48220
- Comeau, S., Carpenter, R. C., Lantz, C. A. & Edmunds, P. J. (2016). Parameterization of the response of calcification to temperature and pCO₂ in the coral *Acropora pulchra* and the alga *Lithophyllum kotschyianum*. Coral Reefs, 35(3): 929-939. S48394
- Cooper, H. L., Potts, D. C. & Paytan, A. (2016). Metabolic responses of the North Pacific krill, *Euphausia pacifica*, to short- and long-term pCO₂ exposure. Marine Biology, 163: 207. S48382
- Cross, E. L., Peck, L. S., Lamare, M. D. & Harper, E. M. (2016). No ocean acidification effects on shell growth and repair in the New Zealand brachiopod *Calloria inconspicua* (Sowerby, 1846). ICES Journal of Marine Science, 73(3): 920-926. S48225
- Di Santo, V. & Lobel, P. S. (2016). Size affects digestive responses to increasing temperature in fishes: physiological implications of being small under climate change. Marine Ecology, 37(4): 813-820. S48390

- Dutra, E., Koch, M., Peach, K. & Manfrino, C. (2016). Tropical crustose coralline algal individual and community responses to elevated $p\text{CO}_2$ under high and low irradiance. *ICES Journal of Marine Science*, 73(3): 803-813. S48238
- Eberlein, T., Van de Waal, D. B., Brandenburg, K. M., John, U., Voss, M., Achterberg, E. P. & Rost, B. (2016). Interactive effects of ocean acidification and nitrogen limitation on two bloom-forming dinoflagellate species. *Marine Ecology Progress Series*, 543: 127-140. S48088
- Edmunds, P. J. & Yarid, A. (2017). The effects of ocean acidification on wound repair in the coral *Porites* spp. *Journal of Experimental Marine Biology and Ecology*, 486: 98-104. S48455
- Ekstrom, A., Brijs, J., Clark, T. D., Grans, A., Jutfelt, F. & Sandblom, E. (2016). Cardiac oxygen limitation during an acute thermal challenge in the European perch: Effects of chronic environmental warming and experimental hyperoxia. *American Journal of Physiology-Regulatory Integrative and Comparative Physiology*, 311(2): R440-R449. S48459
- Elahi, R., Sebens, K. P. & De Leo, G. A. (2016). Ocean warming and the demography of declines in coral body size. *Marine Ecology Progress Series*, 560: 147-158. S48503
- Enochs, I. C., Manzello, D. P., Donham, E. M., Kolodziej, G., Okano, R., Johnston, L., Young, C., Iguel, J., Edwards, C.B., Fox, M. D., Valentino, L., Johnson, S., Benavente, D., Clark, S. J., Carlton, R., Burton, T., Eynaud, Y., and Price, N. N. (2015). Shift from coral to macroalgae dominance on a volcanically acidified reef. *Nature Climate Change*, 5: 1083-1088. S48418
- Eriander, L., Wrangé, A.-L. & Havenhand, J. N. (2016). Simulated diurnal pH fluctuations radically increase *variance* in—but not the *mean* of—growth in the barnacle *Balanus improvisus*. *ICES Journal of Marine Science*, 73(3): 596-603. S48223
- Evensen, N. R. & Edmunds, P. J. (2016). Interactive effects of ocean acidification and neighboring corals on the growth of *Pocillopora verrucosa*. *Marine Biology*, 163: 148 S48277
- Fabricius, K. E., Kluebenschedl, A., Harrington, L., Noonan, S. & De'ath, G. (2015). *In situ* changes of tropical crustose coralline algae along carbon dioxide gradients. *Scientific Reports*, 5, 9537; doi: 10.1038/srep09537. S48415
- Falkenberg, L. J., Connell, S. D., Coffee, O. I., Ghedini, G. & Russell, B. D. (2015). Species interactions can maintain resistance of subtidal algal habitats to an increasingly modified world. *Global Ecology and Conservation*, 4: 549-558. S48289
- Filbee-Dexter, K., Feehan, C. J. & Scheibling, R. E. (2016). Large-scale degradation of a kelp ecosystem in an ocean warming hotspot. *Marine Ecology Progress Series*, 543: 141-152. S48101
- Foo, S. A., Dworjanyn, S. A., Poore, A. G. B., Harianto, J. & Byrne, M. (2016). Adaptive capacity of the sea urchin *Heliocidaris erythrogramma* to ocean change stressors: responses from gamete performance to the juvenile. *Marine Ecology Progress Series*, 556: 161-172. S48391
- Foo, S. A., Sparks, K. M., Uthicke, S., Karelitz, S., Barker, M., Byrne, M. & Lamare, M. (2016).

- Contributions of genetic and environmental variance in early development of the Antarctic sea urchin *Sterechinus neumayeri* in response to increased ocean temperature and acidification. *Marine Biology*, 163: 130. S48219
- Freitas, R., Pires, A., Moreira, A., Wrona, F. J., Figueira, E. & Soares, A. M. V. M. (2016). Biochemical alterations induced in *Hediste diversicolor* under seawater acidification conditions. *Marine Environmental Research*, 117: 75-84. S48264
- Frommel, A. Y., Margulies, D., Wexler, J. B., Stein, M. S., Scholey, V. P., Williamson, J. E., Bromhead, D., Nicol, S. & Havenhand, J. (2016). Ocean acidification has lethal and sub-lethal effects on larval development of yellowfin tuna, *Thunnus albacares*. *Journal of Experimental Marine Biology and Ecology*, 482: 18-24. S48313
- Gledhill, M., Achterberg, E. P., Li, K., Mohamed, K. N. & Rijkenberg, M. J. A. (2015). Influence of ocean acidification on the complexation of iron and copper by organic ligands in estuarine waters. *Marine Chemistry*, 177: 421-433. S47591
- Graham, E. R. & Sanders, R. W. (2016). Species-specific photosynthetic responses of symbiotic zoanthids to thermal stress and ocean acidification. *Marine Ecology*, 37(2): 442-458. S48267
- Graiff, A., Bartsch, I., Ruth, W., Wahl, M. & Karsten, U. (2015). Season exerts differential effects of ocean acidification and warming on growth and carbon metabolism of the seaweed *Fucus vesiculosus* in the western Baltic Sea. *Frontiers in Marine Science*, 2, 112. doi: 10.3389/fmars.2015.00112. S48423
- Grecian, W. J., Taylor, G. A., Loh, G., McGill, R. A. R., Miskelly, C. M., Phillips, R. A., Thompson, D. R. & Furness, R. W. (2016). Contrasting migratory responses of two closely related seabirds to long-term climate change. *Marine Ecology Progress Series*, 559: 231-242. S48515
- Guilloteau, P., Poulin, R. & MacLeod, C. D. (2016). Impacts of ocean acidification on multiplication and caste organisation of parasitic trematodes in their gastropod host. *Marine Biology*, 163: 96. S48195
- Gunderson, A. R., Armstrong, E. J. & Stillman, J. H. (2016). Multiple stressors in a changing world: The need for an improved perspective on physiological responses to the dynamic marine environment. *Annual Review of Marine Science*, 8: 357-378. S48305
- Guo, X., Xu, X., Zhang, P., Huang, M., Luo, X., Weiwei Y. & Ke, C. (2016). Early development of undulated surf clam, *Paphia undulate* under elevated $p\text{CO}_2$. *Journal of Experimental Marine Biology and Ecology*, 484: 23-30. S48334
- Guy-Haim, T., Silverman, J., Raddatz, S., Wahl, M., Israel, A. & Rilov, G. (2016). The carbon turnover response to thermal stress of a dominant coralline alga on the fast warming Levant coast. *Limnology and Oceanography*, 61(3): 1120-1133. S48263
- Hama, T., Inoue, T., Suzuki, R., Kashiwazaki, H., Wada, S., Sasano, D., Kosugi, N. & Ishii, M. (2016). Response of a phytoplankton community to nutrient addition under different CO_2 and

- pH conditions. *Journal of Oceanography*, 72(2): 207-223. S48165
- Hayashi, M., Suwa, R., Kishida, C., Watanabe, Y., Minowa, Y., Nishida, K., Suzuki, A. & Nojiri, Y. (2016). Effects of ocean acidification on growth of juvenile Japanese surf clam *Pseudocardium sachalinense*. North Pacific Marine Science Organization (PICES) 2016 Annual Meeting, abstract. S48475
- Hernandez, C. A., Sangil, C. & Hernandez, J. C. (2016). A new CO₂ vent for the study of ocean acidification in the Atlantic. *Marine Pollution Bulletin*, 109(1): 419-426. S48371
- Hildebrandt, N., Sartoris, F. J., Schulz, K. G., Riebesell, U. & Niehoff, B. (2016). Ocean acidification does not alter grazing in the calanoid copepods *Calanus finmarchicus* and *Calanus glacialis*. *ICES Journal of Marine Science*, 73(3): 927-936. S48226
- Horvath, K. M., Castillo, K. D., Armstrong, P., Westfield, I. T., Courtney, T. & Ries, J. B. (2016). Next-century ocean acidification and warming both reduce calcification rate, but only acidification alters skeletal morphology of reef-building coral *Siderastrea siderea*. *Scientific Reports*, 6, 29613; doi: 10.1038/srep29613. S48339
- Hurst, T. P., Laurel, B. J., Mathis, J. T. & Tobosa, L. R. (2016). Effects of elevated CO₂ levels on eggs and larvae of a North Pacific flatfish. *ICES Journal of Marine Science*, 73(3): 981-990. S48229
- Iida, Y., Kojima, A., Takatani, Y., Nakano, T., Sugimoto, H., Midorikawa, T. & Ishii, M. (2015). Trends in pCO₂ and sea-air CO₂ flux over the global open oceans for the last two decades. *Journal of Oceanography*, 71(6): 637-661. S48066
- Ikenoue, T. (2016). An exploration of environmental indices based on seasonal and vertical distribution of radiolarians in the Arctic Ocean through collaborative research with Norway. Japan-Norway ARCTIC Science & Innovation Week, abstract. S48251
- Ikenoue, T., Okazaki, Y., Takahashi, K. & Sakamoto, T. (2016). Bering Sea radiolarian biostratigraphy and paleoceanography at IODP Site U1341 during the last four million years. *Deep-Sea Research Part : Topical Studies in Oceanography*, 125-126: 38-55. S48200
- Irie, T. & Morimoto, N. (2016). Intraspecific variations in shell calcification across thermal window and within constant temperatures: Experimental study on an intertidal gastropod *Monetaria annulus*. *Journal of Experimental Marine Biology and Ecology*, 483: 130-138. S48312
- Jansen, T., Post, S., Kristiansen, T., Oskarsson, G. J., Boje, J., MacKenzie, B. R., Mala Broberg, M. & Siegstad, H. (2016). Ocean warming expands habitat of a rich natural resource and benefits a national economy. *Ecological Applications*, 26(7): 2021-2032. S48470
- Jeon, D. V., Na, Y. J., Yu, O. H. & Cho, H. G. (2015). Effects of varying CO₂, nutrient and light irradiance levels on the growth of *Ulva australis* at germling, juvenile, and adult stages. *Korean Journal of Aquatic Science*, 48(1): 96-103. S48300
- Ji, Y., Xu, Z., Zou, D. & Gao, K. (2016). Ecophysiological responses of marine macroalgae to

- climate change factors. *Journal of Applied Phycology*, 28(5): 2953-2967. S48383
- Jin, P. & Gao, K. (2016). Reduced resilience of a globally distributed coccolithophore to ocean acidification: Confirmed up to 2000 generations. *Marine Pollution Bulletin*, 103(1-2): 101-108. S48276
- Kamenos, N. A., Perna, G., Gambi, M. C., Micheli, F. & Kroeker, K. J. (2016). Coralline algae in a naturally acidified ecosystem persist by maintaining control of skeletal mineralogy and size. *Proceedings of the Royal Society B-Biological Sciences*, 283(1840): 61159. S48517
- Kamya, P. Z., Byrne, M., Graba-Landry, A. & Dworjanyn, S. A. (2016). Near-future ocean acidification enhances the feeding rate and development of the herbivorous juveniles of the crown-of-thorns starfish, *Acanthaster planci*. *Coral Reefs*, 35(4): 1241-1251. S48502
- Kang, E. J. & Kim, K. Y. (2016). Effects of future climate conditions on photosynthesis and biochemical component of *Ulva pertusa* (Chlorophyta). *Algae*, 31(1): 49-59. S48194
- Kavousi, J., Tanaka, Y., Nishida, K., Suzuki, A., Nojiri, Y. & Nakamura, T. (2016). Colony-specific calcification and mortality under ocean acidification in the branching coral *Montipora digitata*. *Marine Environmental Research*, 119: 161-165. S48404
- Kelly, M. W., Padilla-Gamino, J. L. & Hofmann, G. E. (2016). High $p\text{CO}_2$ affects body size, but not gene expression in larvae of the California mussel (*Mytilus californianus*). *ICES Journal of Marine Science*, 73(3): 962-969. S48228
- Kim, J.-H., Kang, E. J., Edwards, M. S., Lee, K., Jeong, H. J. & Kim, K. Y. (2016). Species-specific responses of temperate macroalgae with different photosynthetic strategies to ocean acidification: a mesocosm study. *Algae*, 31(3): 243-256. S48414
- Kim, J.-H., Yu, O. H., Yang, E. J., Kang, S.-H., Kim, W. & Choy, E. J. (2016). Effects of ocean acidification driven by elevated CO_2 on larval shell growth and abnormal rates of the venerid clam, *Macra veneriformis*. *Chinese Journal of Oceanology and Limnology*, 34(6): 1191-1198. S48408
- Kordas, R. L. & Harley, C. D. G. (2016). Demographic responses of coexisting species to *in situ* warming. *Marine Ecology Progress Series*, 546: 147-161. S48181
- Kram, S. L., Price, N. N., Donham, E. M., Johnson, M. D., Kelly, E. L. A., Hamilton, S. L. & Smith, J. E. (2016). Variable responses of temperate calcified and fleshy macroalgae to elevated $p\text{CO}_2$ and warming. *ICES Journal of Marine Science*, 73(3): 693-703. S48234
- Krumhansl, K. A., Okamoto, D. K., Rassweiler, A., Novak, M., Bolton, J. J., Cavanaugh, K. C., Connell, S. D., Johnson, C. R., Konar, B., Ling, S. D., Micheli, F., Norderhaug, K., Perez-Matus, A., Sousa-Pinto, I., Reed, D., Salomon, A. K., Shears, N. T., Wernberg, T., Anderson, R. J., Barrett, N., Buschmann, A. H., Carr, M. H., Caselle, J. E., Derrien-Courtet, S., Edgar, G. J., Edwards, M. S., Estes, J., Goodwin, C., Kenner, M. C., Kushner, D. J., Moy, F. E., Nunn, J., Steneck, R. S., Vasquez, J. A., Watson, J., Witman, J. & Byrnes, J. E. K. (2016).

- Global patterns of kelp forest change over the past half-century. *Proceedings of the National Academy of Sciences of the United States of America*, 113(48): 13785-13790. S48489
- Lam, V. W. Y., Cheung, W. W. L., Reygondeau, G. & Sumaila, U. R. (2016). Projected change in global fisheries revenues under climate change. *Scientific Reports*, 6, 32607; doi: 10.1038/srep32607. S48374
- Leal, P. P., Hurd, C. L., Fernandez, P. A. & Roleda, M. Y. (2017). Meiospore development of the kelps *Macrocystis pyrifera* and *Undaria pinnatifida* under ocean acidification and ocean warming: independent effects are more important than their interaction. *Marine Biology*, 164:7. S48514
- Lenz, E. A. & Edmunds, P. J. (2017). Branches and plates of the morphologically plastic coral *Porites rus* are insensitive to ocean acidification and warming. *Journal of Experimental Marine Biology and Ecology*, 486: 188-194. S48456
- Lessin, G., Artioli, Y., Queires, A. M., Widdicombe, S. & Blackford, J. C. (2016). Modelling impacts and recovery in benthic communities exposed to localised high CO₂. *Marine Pollution Bulletin*, 109(1): 267-280. S48368
- Lowe, R. J., Pivan, X., Falter, J., Symonds, G. and Gruber, R. (2016). Rising sea levels will reduce extreme temperature variations in tide-dominated reef habitats. *Science Advances*, 2, e1600825; doi: 10.1126/sciadv.1600825. S48416
- Madeira, D., Costa, P. M., Vinagre, C. & Diniz, M. S. (2016). When warming hits harder: survival, cellular stress and thermal limits of *Sparus aurata* larvae under global change. *Marine Biology*, 163: 91. S48176
- McClelland, H. L. O., Barbarin, N., Beaufort, L., Hermoso, M., Ferretti, P., Greaves, M. and Richaby, R. E. M. (2016). Calcification response of a key phytoplankton family to millennial-scale environmental change. *Scientific Reports*, 6, 34263; doi: 10.1038/srep34263. S48417
- McLaskey, A. K., Keister, J. E., McElhany, P., Olson, M. B., Busch, D. S., Maher, M. & Winans, A. K. (2016). Development of *Euphausia pacifica* (krill) larvae is impaired under pCO₂ levels currently observed in the Northeast Pacific. *Marine Ecology Progress Series*, 555: 65-78. S48329
- Milano, S., Schone, B. R., Wang, S. & Muller, W. E. (2016). Impact of high pCO₂ on shell structure of the bivalve *Cerastoderma edule*. *Marine Environmental Research*, 119: 144-155. S48403
- Milazzo, M., Quattrocchi, F., Azzurro, E., Palmeri, A., Chemello, R., Di Franco, A., Guidetti, P., Sala, E., Sciandra, M., Badalamenti, F. & Garcia-Charton, J. A. (2016). Warming-related shifts in the distribution of two competing coastal wrasses. *Marine Environmental Research*, 120: 55-67. S48467
- Miller, C. A. & Waldbusser, G. G. (2016). A post-larval stage-based model of hard clam

- Mercenaria mercenaria* development in response to multiple stressors: temperature and acidification severity. *Marine Ecology Progress Series*, 558: 35-49. S48452
- Miller, S. H., Breitburg, D. L., Burrell, R. B. & Keppel, A. G. (2016). Acidification increases sensitivity to hypoxia in important forage fishes. *Marine Ecology Progress Series*, 549: 1-8. S48218
- Milner, S., Langer, G., Grelaud, M. & Ziveri, P. (2016). Ocean warming modulates the effects of acidification on *Emiliana huxleyi* calcification and sinking. *Limnology and Oceanography*, 61(4): 1322-1336. S48504
- Molinos, J. G., Halpern, B. S., Schoeman, D. S., Brown, C. J., Kiessling, W., Moore, P. J., Pandolfi, J. M., Poloczanska, E. S., Richardson, A. J. & Burrows, M. T. (2016). Climate velocity and the future global redistribution of marine biodiversity. *Nature Climate Change*, 6: 83-88. S48070
- Mos, B., Byrne, M. & Dworjanyn, S. A. (2016). Biogenic acidification reduces sea urchin gonad growth and increases susceptibility of aquaculture to ocean acidification. *Marine Environmental Research*, 113: 39-48. S48113
- Munday, P. L., Watson, S.-A., Parsons, D. M., King, A., Barr, N. G., Mcleod, I. M., Allan, B. J. M. & Pether, S. M. J. (2016). Effects of elevated CO₂ on early life history development of the yellowtail kingfish, *Seriola lalandi*, a large pelagic fish. *ICES Journal of Marine Science*, 73(3): 641-649. S48235
- Nagelkerken, I., Russell, B. D., Gillanders, B. M. & Connell, S. D. (2016). Ocean acidification alters fish populations indirectly through habitat modification. *Nature Climate Change*, 6: 89-93. S48071
- Nasuchon, N., Yagi, M., Kawabata, Y., Gao, K. & Ishimatsu, A. (2016). Escape responses of the Japanese anchovy *Engraulis japonicus* under elevated temperature and CO₂ conditions. *Fisheries Science*, 82(3): 435-444. S48248
- Navarro, J. M., Duarte, C., Manriquez, P. H., Lardies, M. A., Torres, R., Acuna, K., Vargas, C. A. & Lagos, N. A. (2016). Ocean warming and elevated carbon dioxide: multiple stressor impacts on juvenile mussels from southern Chile. *ICES Journal of Marine Science*, 73(3): 764-771. S48236
- Nunes, J., McCoy, S. J., Findlay, H. S., Hopkins, F. E., Kitidis, V., Queiros, A. M., Rayner, L. & Widdicombe, S. (2016). Two intertidal, non-calcifying macroalgae (*Palmaria palmata* and *Saccharina latissima*) show complex and variable responses to short-term CO₂ acidification. *ICES Journal of Marine Science*, 73(3): 887-896. S48224
- Ober, G. T., Diaz-Pulido, G. & Thornber, C. (2016). Ocean acidification influences the biomass and diversity of reef-associated turf algal communities. *Marine Biology*, 163: 204. S48380
- Ortega, L., Celentano, E., Delgado, E. & Defeo, O. (2016). Climate change influences on abundance, individual size and body abnormalities in a sandy beach clam. *Marine Ecology*

Progress Series, 545: 203-213. S48189

- Paul, C., Sommer, U., Garzke, J., Moustaka-Gouni, M., Paul, A. & Matthiessen, B. (2016). Effects of increased CO₂ concentration on nutrient limited coastal summer plankton depend on temperature. *Limnology and Oceanography*, 61(3): 853-868. S48262
- Peach, K. E., Koch, M. S. & Blackwelder, P. L. (2016). Effects of elevated pCO₂ and irradiance on growth, photosynthesis and calcification in *Halimeda discoidea*. *Marine Ecology Progress Series*, 544: 143-158. S48149
- Peach, K. E., Koch, M. S., Blackwelder, P. L. & Manfrino, C. (2017). Calcification and photophysiology responses to elevated pCO₂ in six *Halimeda* species from contrasting irradiance environments on Little Cayman Island reefs. *Journal of Experimental Marine Biology and Ecology*, 486: 114-126. S48454
- Poloczanska, E. S., Burrows, M. T., Brown, C. J., Molinos, J. G., Halpern, B. S., Hoegh-Guldberg, O., Kappel, C. V., Moore, P. J., Richardson, A. J., Schoeman, D. S. & Sydeman, W. J. (2016). Responses of marine organisms to climate change across oceans. *Frontiers in Marine Science*, 3(62): 1-21. S48516
- Poore, A. G. B., Graham, S. E., Byrne, M. & Dworjanyn, S. A. (2016). Effects of ocean warming and lowered pH on algal growth and palatability to a grazing gastropod. *Marine Biology*, 163: 99. S48196
- Prado, P., Roque, A., Perez, J., Ibanez, C., Alcaraz, C., Casals, F. & Caiola, N. (2016). Warming and acidification-mediated resilience to bacterial infection determine mortality of early *Ostrea edulis* life stages. *Marine Ecology Progress Series*, 545: 189-202. S48199
- Raabe, E. A. & Stumpf, R. P. (2016). Expansion of tidal marsh in response to sea-level rise: Gulf coast of Florida, USA. *Estuaries and Coasts*, 39(1): 145-157. S48092
- Ragazzola, F., Foster, L. C., Jones, C. J., Scott, T. B., Fietzke, J., Kilburn, M. R. & Schmidt, D. N. (2016). Impact of high CO₂ on the geochemistry of the coralline algae *Lithothamnion glaciale*. *Scientific Reports*, 6, 20572; doi: 10.1038/srep20572. S48284
- Rastelli, E., Corinaldesi, C., Dell'Anno, A., Amaro, T., Greco, S., Lo Martire, M., Carugati, L., Queiros, A. M., Widdicombe, S. & Danovaro, R. (2016). CO₂ leakage from carbon dioxide capture and storage (CCS) systems affects organic matter cycling in surface marine sediments. *Marine Environmental Research*, 122: 158-168. S48556
- Reed, D., Washburn, L., Rassweiler, A., Miller, R., Bell, T. & Harrer, S. (2016). Extreme warming challenges sentinel status of kelp forests as indicators of climate change. *Nature Communications* 7, 13757; doi: 10.1038/ncomms13757. S48546
- Riera, R., Sangil, C. & Sanson, M. (2015). Long-term herbarium data reveal the decline of a temperate-water algae at its southern range. *Estuarine, Coastal and Shelf Science*, 165: 159-165. S48097

- Rodrigues, L. C., Van Den Bergh, J. C. J. M., Massa, F., Theodorou, J. A., Ziveri, P. & Gazeau, F. (2015). Sensitivity of Mediterranean bivalve mollusc aquaculture to climate change, ocean acidification, and other environmental pressures: Findings from a producer survey. *Journal of Shellfish Research*, 34(4): 1161-1176. S48106
- Roleda, M. Y., Cornwall, C. E., Feng, Y., McGraw, C. M., Smith, A. M. & Hurd, C. L. (2015). Effect of ocean acidification and pH fluctuations on the growth and development of coralline algal recruits, and an associated benthic algal assemblage. *PLoS ONE*, 10(10): e0140394. doi: 10.1371/journal.pone.0140394. S48304
- Ross, P. M., Parker, L. & Byrne, M. (2016). Transgenerational responses of molluscs and echinoderms to changing ocean conditions. *ICES Journal of Marine Science*, 73(3): 537-549. S48222
- Sangil, C., Clemente, S., Brito, A., Rodriguez, A., Balsalobre, M., Mendoza, J. C., Martinez, D. & Hernandez, J. C. (2016). Seaweed community response to a massive CO₂ input. *Estuarine, Coastal and Shelf Science*, 178: 48-57. S48407
- Schade, H., Mevenkamp, L., Guilini, K., Meyer, S., Gorb, S. N., Abele, D., Vanreusel, A. & Melzner, F. (2016). Simulated leakage of high pCO₂ water negatively impacts bivalve dominated infaunal communities from the Western Baltic Sea. *Scientific Reports*, 6, 31447; doi: 10.1038/srep31447. S48341
- Schluter, L., Lohbeck, K. T., Groger, J. P., Riebesell, U. & Reusch, T. B. H. (2016). Long-term dynamics of adaptive evolution in a globally important phytoplankton species to ocean acidification. *Science Advances*, 2: e1501660. S48497
- Schunter, C., Welch, M. J., Ryu, T., Zhang, H., Berumen, M. L., Nilsson, G. E., Munday, P. L. & Ravasi, T. (2016). Molecular signatures of transgenerational response to ocean acidification in a species of reef fish. *Nature Climate Change*, 6: 1014-1018. S48343
- Shaw, E. C., Hamylton, S. M. & Phinn, S. R. (2016). Incorporating benthic community changes into hydrochemical-based projections of coral reef calcium carbonate production under ocean acidification. *Coral Reefs*, 35(2): 739-750. S48240
- Shen, S. G., Chen, F., Schoppik, D. E. & Checkley Jr, D. M. (2016). Otolith size and the vestibulo-ocular reflex of larvae of white seabass *Atractoscion nobilis* at high pCO₂. *Marine Ecology Progress Series*, 553: 173-183. S48307
- Shultz, A. D., Zuckerman, Z. C. & Suski, C. D. (2016). Thermal tolerance of nearshore fishes across seasons: implications for coastal fish communities in a changing climate. *Marine Biology*, 163: 83. S48177
- Smale, D. A. & Vance, T. (2016). Climate-driven shifts in species' distributions may exacerbate the impacts of storm disturbances on North-east Atlantic kelp forests. *Marine and Freshwater Research*, 67(1): 65-74. S48076

- Small, D. P., Calosi, P., Boothroyd, D., Widdicombe, S. & Spicer, J. I. (2016). The sensitivity of the early benthic juvenile stage of the European lobster *Homarus gammarus* (L.) to elevated $p\text{CO}_2$ and temperature. *Marine Biology*, 163: 53. S48187
- Smith, J. N., Strahl, J., Noonan, S. H. C., Schmidt, G. M., Richter, C. & Fabricius, K. E. (2016). Reduced heterotrophy in the stony coral *Galaxea fascicularis* after life-long exposure to elevated carbon dioxide. *Scientific Reports*, 6, 27019 ; doi: 10.1038/srep27019. S48287
- Stillman, J. H. & Armstrong, E. (2015). Genomics are transforming our understanding of responses to climate change. *BioScience*, 65(3): 237-246. S48306
- Stillman, J. H. (2003). Acclimation capacity underlies susceptibility to climate change. *Science*, 301: 65. S48448
- Sui, Y., Kong, H., Shang, Y., Huang, X., Wu, F., Hu, M., Lin, D., Lu, W. & Wang, Y. (2016). Effects of short-term hypoxia and seawater acidification on hemocyte responses of the mussel *Mytilus coruscus*. *Marine Pollution Bulletin*, 108(1-2): 46-52. S48364
- Suwa, R., Yamamoto, Y., Hayashi, M., Kikkawa, T., Watanabe, Y., Minowa, Y. & Nojiri, Y. (2016). The combined effect of high $p\text{CO}_2$ and warming on reproduction of Japanese whiting *Sillago japonica*. North Pacific Marine Science Organization (PICES) 2016 Annual Meeting, abstract. S48474
- Tahil, A. S. & Dy, D. T. (2016). Effects of reduced pH on the early larval development of hatchery-reared Donkey's ear abalone, *Haliotis asinina* (Linnaeus 1758). *Aquaculture*, 459: 137-142. S48254
- Towle, E. K., Baker, A. C. & Langdon, C. (2016). Preconditioning to high CO_2 exacerbates the response of the Caribbean branching coral *Porites porites* to high temperature stress. *Marine Ecology Progress Series*, 546: 75-84. S48182
- Trip, E. D. L., Clements, K. D., Raubenheimer, D. & Choat, J. H. (2016). Temperate marine herbivorous fishes will likely do worse, not better, as waters warm up. *Marine Biology*, 163(2): 24. S48086
- Ventura, P., Jarrold, M. D., Merle, P.-L., Barnay-Verdier, S., Zamoum, T., Rodolfo-Metalpa, R., Calosi, P. & Furla, P. (2016). Resilience to ocean acidification: decreased carbonic anhydrase activity in sea anemones under high $p\text{CO}_2$ conditions. *Marine Ecology Progress Series*, 559: 257-263. S48526
- Verges, A., Doropoulos, C., Malcolm, H. A., Skye, M., Garcia-Piza, M., Marzinelli, E. M., Campbell, A. H., Ballesteros, E., Hoey, A. S., Vila-Concejo, A., Bozec, Y.-M. & Steinberg, P. D. (2016). Long-term empirical evidence of ocean warming leading to tropicalization of fish communities, increased herbivory, and loss of kelp. *Proceedings of the National Academy of Sciences of the United States of America*, 113(48): 13791-13796. S48543
- Vogel, N., Cantin, N. E., Strahl, J., Kaniewska, P., Bay, L., Wild, C. & Uthicke, S. (2016).

- Interactive effects of ocean acidification and warming on coral reef associated epilithic algal communities under past, present-day and future ocean conditions. *Coral Reefs*, 35(2): 715-728. S48242
- Welch, M. J. & Munday, P. L. (2016). Contrasting effects of ocean acidification on reproduction in reef fishes. *Coral Reefs*, 35(2): 485-493. S48243
- Wernberg, T., Bennett, S., Babcock, R. C., de Bettignies, T., Cure, K., Depczynski, M., Dufois, F., Fromont, J., Fulton, C. J., Hovey, R. K., Harvey, E. S., Holmes, T. H., Kendrick, G. A., Radford, B., Santana-Garcon, J., Saunders, B. J., Smale, D. A., Thomsen, M. S., Tuckett, C. A., Tuya, F., Vanderklift, M. A. & Wilson, S. K. (2016). Climate-driven regime shift of a temperate marine ecosystem. *Science*, 353(6295): 169-172. S48422
- Xavier, J. C., Peck, L. S., Fretwell, P. & Turner, J. (2016). Climate change and polar range expansions: Could cuttlefish cross the Arctic? *Marine Biology*, 163: 78. S48178
- Xiao, X., de Bettignies, T., Olsen, Y. S., Agusti, S., Duarte, C. M. & Wernberg, T. (2015). Sensitivity and acclimation of three canopy-forming seaweeds to UVB radiation and warming. *PLoS ONE*, 10(12): e0143031. S48387
- Xiong, X., Masuda, Y., Hashioka, T., Ono, T. & Yamanaka, Y. (2015). Effect of seasonal change in gas transfer coefficient on air-sea CO₂ flux in the western North Pacific. *Journal of Oceanography*, 71(6): 685-701. S48067
- Young, C. S. & Gobler, C. J. (2016). Ocean acidification accelerates the growth of two bloom-forming macroalgae. *PLoS ONE*, 11(5): e0155152. S48437
- Zhan, Y., Hu, W., Zhang, W., Liu, M., Duan, L., Huang, X., Chang, Y. & Li, C. (2016). The impact of CO₂-driven ocean acidification on early development and calcification in the sea urchin *Strongylocentrotus intermedius*. *Marine Pollution Bulletin*, 112(1-2): 291-302. S48551
- Zhang, H., Shin, P. K. S. & Cheung, S. G. (2016). Physiological responses and scope for growth in a marine scavenging gastropod, *Nassarius festivus* (Powys, 1835), are affected by salinity and temperature but not by ocean acidification. *ICES Journal of Marine Science*, 73(3): 814-824. S48239
- Zhao, L., Schone, B. R., Mertz-Kraus, R. & Yang, F. (2017). Insights from sodium into the impacts of elevated pCO₂ and temperature on bivalve shell formation. *Journal of Experimental Marine Biology and Ecology*, 486: 148-154. S48493
- Morley, S. A., Bates, A. E., Lamare, M., Richard, J., Nguyen, K. D., Brown, J. & Peck, L. S. (2016). Rates of warming and the global sensitivity of shallow water marine invertebrates to elevated temperature. *Journal of the Marine Biological Association of the United Kingdom*, 96(1): 159-165. S48167

養殖・魚病

- 大形拓路・中川浩一・上妻智行・伊藤輝昭(2016). アサリ稚貝簡易育成装置の開発と効率化. 福岡県水産技術海洋センター研究報告, (26):9-16. S48411
- 小杉知佳・熊谷敬之・小林美樹・藤田大介(2016). 富山湾深層水のかげ流し条件におけるスラグ系施肥材のマコンブに対する効果実証実験. 海洋深層水研究, 16(3):69-81. S48302
- 棚田教生(2016). フリー配偶体を用いたワカメの実用規模種苗生産法および高水温耐性品種の開発. 海洋と生物, 38(4):464-471. S48344
- 棚田教生・團 昭紀・加藤慎治・岡 直宏・浜野龍夫(2015). 鹿児島県産天然ワカメと鳴門産養殖品種の雌雄フリー配偶体正逆交雑による品種改良の効果. Algal Resources, 8(2):103-112. S48154
- 二羽恭介(2016). 大型水槽によるフリー配偶体を使ったワカメの種苗生産. 水産増殖, 64(2):173-182. S48291
- 林 俊裕・長谷川健一・梶山 誠(2016). 千葉県富津市地先ノリ養殖漁場における栄養塩濃度(DIN, DIP)とノリ葉体の色調の関係について. 千葉県水産総合研究センター研究報告, (10):19-25. S48192
- 牧野 直・小林 豊・深山義文(2016). ハマグリ種苗生産における浮遊幼生期の飼育条件について. 千葉県水産総合研究センター研究報告, (10):7-13. S48191
- 的場達人・廣瀬道宣・長本 篤・吉田幹英・篠原直哉(2016). 有明海福岡県地先におけるタイラギの斃死要因に関する研究 IV. 福岡県水産技術海洋センター研究報告, (26):1-8. S48412
- 山本義久(2016). (特集)食料生産における新たな水利用: 環境負荷を低減する閉鎖循環式養殖システムと物質循環利用型養殖について. 水環境学会誌, 39(A)9: 345-348. S48429
- 大分県農林水産研究指導センター水産研究部 浅海・内水面グループ(2016). ひじき資源増大のための手引き. 大分県農林水産研究指導センター水産研究部 浅海・内水面グループ. (2)+31+(2)pp. S48413
- Azevedo, I. C., Marinho, G. S., Silva, D. M. & Sousa-Pinto, I. (2016). Pilot scale land-based cultivation of *Saccharina latissima* Linnaeus at southern European climate conditions: Growth and nutrient uptake at high temperatures. Aquaculture, 459: 166-172. S48255
- Chen, L., Wu, J., Chen, S., Xie, X., Zhu, C. & Guo, Y. (2013). Effect of salinity on attachment, development and survival of *Gloiopeltis furcata* spore. South China Fisheries Science, 9(1): 53-57. S48379
- Chen, P., Huang, Z., Zhu, J., Lu, Q. & Chen, W. (2015). Effect of environmental factor on conchospore releasing, attachment and germination in *Pyropia dentata*. South China Fisheries Science, 11(1): 55-61. S48378

- Chen, N., Luo, X., Gu, Y. T., Han, G. D., Dong, Y. W., You, W.W. & Ke, C. H. (2016). Assessment of the thermal tolerance of abalone based on cardiac performance in *Haliotis discus hannai*, *H. gigantea* and their interspecific hybrid. *Aquaculture*, 465: 258-264. S48466
- Freire, I., Cortina-Burgueno, A., Grille, P., Arizcun, M. A., Abellan, E., Segura, M., Sousa, F. W. & Otero, A. (2016). *Nannochloropsis limnetica*: A freshwater microalga for marine aquaculture. *Aquaculture*, 459: 124-130. S48269
- Froehlich, H. E., Gentry, R. R. & Halpern, B. S. (2016). Synthesis and comparative analysis of physiological tolerance and life-history growth traits of marine aquaculture species. *Aquaculture*, 460: 75-82. S48258
- Green, L. A. & Neefus, C. D. (2016). Effects of temperature, light level, and photoperiod on the physiology of *Porphyra umbilicalis* Kutzing from the Northwest Atlantic, a candidate for aquaculture. *Journal of Applied Phycology*, 28(3): 1815-1826. S48246
- Hamre, K. (2016). Nutrient profiles of rotifers (*Brachionus* sp.) and rotifer diets from four different marine fish hatcheries. *Aquaculture*, 450: 136-142. S48151
- Jiang, X., Du, M., Jiang, Z., Fang, J., Zhao, X. & Zhang, Y. (2016). Effects of temperature on oxygen consumption and ammonia excretion by the Haida golden scallop and Yesso scallop, *Patinopecten yessoensis*. *Journal of Fishery Sciences of China*, 23(4): 864-870. S48321
- Miki, O., Nagai, T., Marzuki, M., Okumura, C., Kosugi, C. & Kato, T. (2016). Effects of Fe fertilizer eluate on the growth of *Sargassum horneri* at the germling and immature stages. *Journal of Applied Phycology*, 28(3): 1775-1782. S48252
- Noda, T., Shima, Y., Yatsuya, K., Mizuochi, H. & Yoshimura, T. (2016). Grey sea chub, *Kyphosus bigibbus*, is able to browse seaweed at night under rearing condition. *Aquaculture Science*, 64(2): 209-213. S48292
- Park, J. & Kim, P.-K. (2016). The effects of water temperature on growth performance and hematology of Pacific cod *Gadus macrocephalus* reared in land-based culture tanks. *Fisheries Science*, 82(6): 953-960. S48488
- Watanabe, Y., Yamada, H., Mine, T., Kawamura, Y., Nishihara, G. N. & Terada, R. (2016). Photosynthetic responses of *Pyropia yessoensis* f. *narawaensis* (Bangiales, Rhodophyta) to a thermal and PAR gradient vary with the life-history stage. *Phycologia*, 55(6): 665-672. S48338
- Wen, B., Gao, Q.-F., Dong, S.-L., Hou, Y.-R., Yu, H.-B. & Xi, X. (2016). Absorption of different macroalgae by sea cucumber *Apostichopus japonicus* (Selenka): Evidence from analyses of fatty acid profiles. *Aquaculture*, 451: 421-428. S48152
- Zhao, C., Feng, W., Wei, J., Zhang, L., Sun, P. & Chang, Y. (2016). Effects of temperature and feeding regime on food consumption, growth, gonad production and quality of the sea urchin *Strongylocentrotus intermedius*. *Journal of the Marine Biological Association of the United Kingdom*, 96(1): 185-196. S48174

Zhou, W., Sui, Z., Wang, J., Hu, Y., Kang, K. H., Kim, H. B. & Niaz, Z. (2016). Mass cultivation of economically important red alga *Gracilariopsis lemaneiformis* (Gracilariaceae, Rhodophyta) from tetraspores and carpospores. *Aquaculture*, 460: 25-31. S48253

分類・遺伝

山本正之・志田尾耕三・富田伸明・菊本憲文・下西 孝・二宮早由子・長井 隆・香村眞徳 (2016). 黄緑藻綱フシナシミドロ属日本新産種 *Vacheria piloboloides* の生育状況. 日本藻類学会第 40 回大会発表資料. S48153

Athanasiadis, A. (2016). *Leptophytum flavescens* comb. nov. (Corallinales, Rhodophyta), an Arctic endemic from the sublittoral of NW Spitsbergen, North Norway, and western Novaya Zemlya, with epitypification of *L. laeve*. *Marine Biology Research*, 12(5): 551-558. S48395

Brodie, J., Wilbraham, J., Pottas, J. & Guiry, M. D. (2016). A revised check-list of the seaweeds of Britain. *Journal of the Marine Biological Association of the United Kingdom*, 96(5): 1005-1029. S48396

Ikenoue, T., Bjorklund, K. R., Dumitrica, P., Krabberod, A., Kimoto, K., Matsuno, K. & Harada, N. (2016). Two new living Entactinaria (Radiolaria) species from the Arctic province: *Joergensenium arcticum* n. sp. and *Joergensenium clevei* n. sp. *Marine Micropaleontology*, 124: 75-94. S48163

Kikuchi, N., Nakada, T. & Niwad, K. (2015). Proposals of a new combination and a valid name for two Bangiales taxa (*Rhodophyta*) used for nori cultivation in Japan. *The Journal of Japanese Botany*, 90(6): 380-385. S48084

Maneveldt, G. W., Van der Merwe, E. & Keats, D. W. (2016). Updated keys to the non-geniculate coralline red algae (Corallinophycidae, Rhodophyta) of South Africa. *South African Journal of Botany*, 106: 158-164. S48335

Ohshima, H. (1927). *Nymphonella tapetis*, n. g., n. sp., a pycnogon parasitic in a bivalve. *Annotationes Zoologicae Japonenses*, 11: 257-263. S48326

Van der Merwe, E. & Maneveldt, G. W. (2016). A modern account of the South African non-geniculate Lithophylloideae (Corallinales, Corallinophycidae, Rhodophyta). *South African Journal of Botany*, 103: 247-267. S48183

Wolf, M. A., Falace, A., Kaleb, S. & Moro, I. (2016). Molecular data confirm the existence of attached crustose tetrasporangial thalli in *Phymatolithon calcareum* (Melobesioideae, Hapalidiaceae, Rhodophyta) from the Mediterranean Sea. *Aquatic Botany*, 134: 75-81. S48445

資源

桐山隆哉・村瀬慎司・岩永俊介 (2015). 大村湾喜々津でみられた不稔性マメタワラ寄り藻の大量発生. 長崎県水産試験場研究報告, (41): 1-12. S48419

- 田中ゆう子・五十嵐 学・鈴木秀男(2008). 工事中の海底振動が水産資源に及ぼす影響について. 騒音・振動研究会資料, N-2008-38:1-6. S48213
- 反田 實(2016). 特集 瀬戸内海環境保全特別措置法改正 -転換期を迎える瀬戸内海の環境保全- 瀬戸内海の水産資源の変動を見る. 瀬戸内海, 71:16-19. S48203
- 長谷川雅俊(2015). マダイは増えたのか?-放流の効果を探る-. 伊豆分場だより, (343):15-18. S48080
- 日高研人・森 慎也・梨本大輔・後川龍男・内藤 剛(2016). 筑前湾における藻場の現状および藻場造成に関する研究. 福岡県水産技術海洋センター研究報告, (26):47-56. S48410
- 松崎圭佑・庄子充広・伊藤絹子(2016). 広瀬川における2004年~2015年の河川遡上アユCPUEの経年変化. 宮城県水産研究報告, (16):27-34. S48202
- 吉田 司・大竹由華・芝 修一・前田隼平・原 武史・鈴木輝明(2016). 1978-2003年における伊勢湾でのカタクチイワシ現存量と動物プランクトン密度, 塩分の関係. 水産海洋研究, 80(3):207-213. S48361
- Robitzch, V. S. N., Lozano-Cortes, D., Kandler, N. M., Salas, E. & Berumen, M. L. (2016). Productivity and sea surface temperature are correlated with the pelagic larval duration of damselfishes in the Red Sea. *Marine Pollution Bulletin*, 105(2): 566-574. S48345
- Wagawa, T., Tamate, T., Kuroda, H., Ito, S., Kakehi, S., Yamanome, T. & Kodama, T. (2016). Relationship between coastal water properties and adult return of chum salmon (*Oncorhynchus keta*) along the Sanriku coast, Japan. *Fisheries Oceanography*, 25(6): 598-609. S48507

その他

- 岡田恭明・吉久光一(2016). 航空機騒音の伝搬に及ぼす空気の音響吸収の影響 -その2 (世界各地の高層気象観測データを用いた検討)-. 騒音・振動研究会資料, N-2008-40:1-6. S48215
- 香川謙二(2016). 特集号の発刊にあたって. 海洋生物環境研究所研究報告, (22):1. S48561
- 久野和宏(2008). 波動方程式のこと(V) -無意味な解-. 騒音・振動研究会資料, N-2008-42:1-4. S48217
- 小嶋純一(2016). 漁港で稚魚を求めて40年. *We Love Fishes 魚好きやねん*. S48480
- 龍田建次・野呂雄一・吉久光一・久野和宏(2008). 道路網と都市の音環境 -GISを用いたメッシュデータによる検討-. 騒音・振動研究会資料, N-2008-41:1-6. S48216
- 土田義郎・小椋研人(2008). 金沢市辰巳用水を取り巻く音環境の分析. 騒音・振動研究会資料, N-2008-39:1-6. S48214
- 山田 裕(2016). かけがえのない海を未来へ 公益財団法人海洋生物環境研究所. 公益財団法人公益法人協会 機関誌『公益法人』, 45(9):表紙, 40. S48352

単行書

- 原子力施設環境放射線調査報告書（平成 27 年度第 1 四半期報）. 青森県原子力センター, 平成 27 年 11 月. 12117
- 平成 27 年度火力原子力発電大会研究発表要旨集. (社)火力原子力発電技術協会, 平成 27 年 10 月. 12118
- 人と海洋の共生をめざし 150 人のオピニオンⅦ. Ship & Ocean Newsletter No. 301~No. 310
Ocean Newsletter No. 311~No. 350. (公財)笹川平和財団 海洋政策研究所, 平成 27 年 10 月. 12120
- 月刊 環境管理 9 月号. (一社)産業環境管理協会, 平成 27 年. 12122
- 玄海原子力発電所の運転状況及び周辺環境調査結果(季報)(平成 27 年 7 月~9 月). 佐賀県, 平成 28 年 1 月. 12123
- Defining and assessing adverse environmental impact from power plant impingement and entrainment of aquatic organisms. (eds. Dixon, D. A., Veil, J. A. & Wisniewski, J.), A. A. Balkema Publishers, 2003(平成 15 年). 12143
- 第 63 回日本生態学会大会プログラム ESJ63. 日本生態学会大会企画委員会(編), 日本生態学会大会企画委員会, 平成 28 年 1 月. 12132
- 平成 26 年度女川原子力発電所温排水調査結果. 宮城県, 平成 28 年 2 月. 12133
- 志賀原子力発電所周辺環境放射線監視結果報告書 平成 26 年度 年報. 石川県, 平成 27 年 10 月. 12134
- 志賀原子力発電所周辺環境放射線監視結果報告書 平成 27 年度 第 1 報(平成 27 年 4 月~6 月分). 石川県, 平成 27 年 10 月. 12135
- 志賀原子力発電所周辺環境放射線監視結果報告書 平成 27 年度 第 2 報(平成 27 年 7 月~9 月分). 石川県, 平成 27 年 12 月. 12136
- 志賀原子力発電所温排水影響調査結果報告書 平成 26 年度 第 4 報(冬季). 石川県, 平成 27 年 10 月. 12137
- 志賀原子力発電所温排水影響調査結果報告書 平成 26 年度 年報. 石川県, 平成 27 年 10 月. 12138
- 志賀原子力発電所温排水影響調査結果報告書 平成 27 年度 第 1 報(春季). 石川県発行, 石川県, 金沢, 平成 27 年 12 月. 12139
- Edible sea urchins: biology and ecology. (ed. Lawrence, J. M.). Developments in aquaculture and fisheries science 37. Elsevier, Netherlands, 2007(平成 19 年). 12140
- 東通原子力発電所温排水影響調査結果報告書(平成 27 年度第 2 四半期報). 青森県農林水産部水産局水産振興課, 平成 28 年 2 月. 12141
- 平成 28 年度版電力新設備要覧. 日刊電気通信社(編), 日刊電気通信社, 東京, 平成 28 年 2 月.

12142

- 島根原子力発電所周辺環境放射線等調査結果 平成 27 年度 第 2 四半期. 島根県. 12144
- 泊発電所周辺環境放射線監視結果報告書(平成 27 年度 第 2 四半期). 北海道, 平成 27 年 12 月. 12145
- 泊発電所周辺温排水影響調査結果報告書(平成 27 年度 第 2 四半期). 北海道, 平成 27 年 12 月. 12146
- 島根原子力発電所温排水影響調査研究報告書 No.35. 島根県水産技術センター(内水面浅海部浅海科), 平成 28 年 2 月. 12147
- 江戸時代の浦安 1「下総行徳領獵師種蠣記録」. 下総国葛飾郡堀江村漁業出入留書浦安・聞き書き隊(編), 浦安市郷土博物館調査報告 第 9 集, 浦安市郷土博物館, 浦安, 平成 28 年 3 月. 12148
- 平成 26 年度栽培漁業・海面養殖用種苗の生産・入手・放流実績(全国)～総括編・動向編～. (独)水産総合研究センター, 横浜, 平成 28 年 3 月. 12149
- 魚と放射能汚染. 片山知史, 芽ばえ社, 東京, 平成 28 年 2 月. 12152
- 平成 26 年度伊方原子力発電所温排水影響調査 実施状況並びに調査結果. 愛媛県. 12150
- 女川原子力発電所環境放射能及び温排水調査結果(平成 27 年度 第 2 四半期), 35(2), 宮城県, 平成 28 年 1 月. 12151
- 東北電力 NOW CSR REPORT 2015. 東北電力, 平成 27 年 11 月. 12153
- 農林漁業金融統計 2015 年版. 農林中金総合研究所(編), 農林中央金庫, 東京, 平成 27 年 12 月. 12154
- 東北電力・環境行動レポート 2015 ダイジェスト版. 東北電力, 平成 27 年 11 月. 12155
- 原子力発電に係る産業動向調査 報告書 2015(2014 年度調査)報告書. (一社)日本原子力産業協会, 東京, 平成 27 年 12 月. 12156
- 平成 26 年度柏崎刈羽原子力発電所温排水等漁業調査結果報告. 新潟県, 東京電力, 平成 27 年 8 月. 12157
- 平成 28 年度日本水産学会春季大会 講演要旨集(東京海洋大学). 日本水産学会, 東京, 平成 28 年 3 月. 12158
- 平成 27 年度檜葉町原子力施設監視委員会報告書. 檜葉町原子力施設監視委員会, 平成 28 年 3 月. 12159
- 玄海原子力発電所の運転状況及び周辺環境調査結果(季報)(平成 27 年 10 月～12 月). 佐賀県, 平成 28 年 3 月. 12160
- 佐賀県の原子力発電. 暮らし環境本部原子力安全対策課(編), 佐賀県, 平成 28 年 3 月. 12161
- 2016 年度日本付着生物学会 研究集会 総会・研究集会(第 23 回), 日本付着生物学会, 東京, 平成 28 年 3 月. 12162
- Research and development on marine and global environmental change annual report FY2014. JAMSTEC(海洋研究開発機構), 横須賀. 12163

魚介肉内在性プロテアーゼ. 水産学シリーズ 183, 恒星社厚生閣, 東京, 平成 28 年 3 月. 12164

宮城県原子力センター年報 平成 25 年. 宮城県原子力センター, 平成 27 年 3 月. 12165

2013 宮城県の原子力行政. 宮城県, 平成 25 年 3 月. 12166

環境放射線監視季報 第 164 報 (平成 25 年度第 1 四半期) 第 165 報 (平成 25 年度第 2 四半期). 茨城県東海地区環境放射線監視委員会, 放監季 1・2 25-2. 12167

環境放射線監視季報 第 166 報 (平成 25 年度第 3 四半期) 第 167 報 (平成 25 年度第 4 四半期). 茨城県東海地区環境放射線監視委員会, 放監季 3・4 26-1. 12168

発電所の運転・建設年報 平成 25 年度. 福井県安全環境部原子力安全対策課, 平成 27 年 1 月. 12169

発電所の運転および建設状況 平成 25 年 3 月～平成 25 年 6 月. 福井県安全環境部原子力安全対策課, No. 155. 平成 25 年 7 月. 12170

発電所の運転および建設状況 平成 25 年 7 月～平成 25 年 9 月. 福井県安全環境部原子力安全対策課, No. 156. 平成 25 年 11 月. 12171

発電所の運転および建設状況 平成 25 年 10 月～平成 25 年 11 月. 福井県安全環境部原子力安全対策課, No. 157, 平成 26 年 1 月. 12172

発電所の運転および建設状況 平成 25 年 12 月～平成 26 年 2 月. 福井県安全環境部原子力安全対策課, No. 158, 平成 26 年 3 月. 12173

原子力発電所周辺の環境放射能調査 平成 25 年度 (2013 年度) 計画書. FERC 5(6), 福井県環境放射能測定技術会議, 平成 25 年 3 月. 12174

原子力発電所周辺の環境放射能調査 平成 25 年度 (2013 年度) 第 1 四半期報告書. FERC 46(1), 福井県環境放射能測定技術会議, 平成 25 年 10 月. 12175

原子力発電所周辺の環境放射能調査 平成 25 年度 (2013 年度) 第 2 四半期報告書. FERC 46(1), 福井県環境放射能測定技術会議, 平成 25 年 12 月. 12176

原子力発電所周辺の環境放射能調査 平成 25 年度 (2013 年度) 第 3 四半期報告書. FERC 46(3), 福井県環境放射能測定技術会議, 平成 26 年 3 月. 12177

原子力発電所周辺の環境放射能調査 平成 25 年度 (2013 年度) 第 4 四半期報告書. FERC 46(4), 福井県環境放射能測定技術会議, 平成 26 年 7 月. 12178

志賀原子力発電所周辺環境放射線監視年度計画 (平成 25 年度). 北陸電力(株). 12179

平成 25 年度柏崎刈羽原子力発電所周辺環境放射線監視調査年度計画書. 新潟県, 平成 25 年 3 月. 12180

平成 25 年度柏崎刈羽原子力発電所周辺環境放射線監視調査結果速報 第 1 四半期 (4 月～6 月). 新潟県, 東京電力株式会社, 平成 25 年 8 月. 12181

平成 25 年度柏崎刈羽原子力発電所周辺環境放射線監視調査結果速報 第 2 四半期 (7 月～9 月). 新潟県, 東京電力株式会社, 平成 25 年 11 月. 12182

平成 25 年度柏崎刈羽原子力発電所周辺環境放射線監視調査結果速報 第 3 四半期 (10 月～12 月). 新潟県, 東京電力株式会社, 平成 26 年 2 月. 12183

平成 25 年度柏崎刈羽原子力発電所周辺環境放射線監視調査結果速報 第 4 四半期(1 月～3 月). 新潟県, 東京電力株式会社, 平成 26 年 5 月. 12184

平成 25 年度柏崎刈羽原子力発電所周辺環境放射線監視調査結果報告書. 新潟県, 東京電力株式会社, 平成 26 年 8 月. 12185

浜岡原子力発電所周辺環境放射能調査結果 第 158 号 調査期間 平成 25 年 4 月～平成 25 年 6 月. 静岡県環境放射能測定技術会, 平成 25 年 9 月. 12186

浜岡原子力発電所周辺環境放射能調査結果 第 159 号 調査期間 平成 25 年 7 月～平成 25 年 9 月. 静岡県環境放射能測定技術会, 平成 25 年 11 月. 12187

浜岡原子力発電所周辺環境放射能調査結果 第 160 号 調査期間 平成 25 年 10 月～平成 25 年 12 月. 静岡県環境放射能測定技術会, 平成 26 年 2 月. 12188

浜岡原子力発電所周辺環境放射能調査結果 第 161 号 調査期間 平成 25 年 4 月～平成 26 年 3 月. 静岡県環境放射能測定技術会, 平成 26 年 6 月. 12189

平成 27 年度水産工学関係研究開発推進会議報告書. 漁業生産技術部会・水産業システム研究部会-合同部会. 国立研究開発法人 水産総合研究センター水産工学研究所, 平成 27 年 11 月. 12190

しまねの原子力 2013. 島根県, 平成 25 年 3 月. 12191

伊方原子力発電所周辺環境放射線等調査計画 平成 25 年度. 愛媛県. 12192

伊方原子力発電所周辺環境放射線等調査結果(平成 25 年度 第 1・四半期). 愛媛県, 平成 25 年 11 月. 12193

伊方原子力発電所周辺環境放射線等調査結果(平成 25 年度 第 2・四半期). 愛媛県, 平成 26 年 2 月. 12194

伊方原子力発電所周辺環境放射線等調査結果(平成 25 年度 第 3・四半期). 愛媛県, 平成 26 年 3 月. 12195

伊方原子力発電所周辺環境放射線等調査結果(平成 25 年度 第 4・四半期). 愛媛県, 平成 26 年 8 月. 12196

平成 25 年度伊方原子力発電所周辺環境放射線等調査結果. 愛媛県, 平成 26 年 8 月. 12197

平成 25 年度川内原子力発電所周辺環境放射線調査計画. 鹿児島県. 12198

川内原子力発電所周辺環境放射線調査結果報告書(平成 25 年 4 月～6 月). 鹿児島県, 平成 25 年 11 月. 12199

川内原子力発電所周辺環境放射線調査結果報告書(平成 25 年 7 月～9 月). 鹿児島県, 平成 26 年 1 月. 12200

川内原子力発電所周辺環境放射線調査結果報告書(平成 25 年 10 月～12 月). 鹿児島県, 平成 26 年 3 月. 12201

川内原子力発電所周辺環境放射線調査結果報告書(平成 26 年 1 月～3 月). 鹿児島県, 平成 26 年 7 月. 12202

川内原子力発電所周辺環境放射線調査結果報告書(平成 25 年度 年報). 鹿児島県, 平成 26

年 9 月. 12203

東海再処理施設周辺の環境放射線モニタリング結果 2007 年度. 武石 稔・他 22 名, JAEA-review 2008-057, 日本原子力研究開発機構, 平成 20 年 11 月. 12204

東海再処理施設周辺の環境放射線モニタリング結果 2008 年度. 武石 稔・他 24 名, JAEA-review 2009-048, 日本原子力研究開発機構, 平成 21 年 12 月. 12205

東海再処理施設周辺の環境放射線モニタリング結果 2009 年度. 住谷秀一・他 23 名, JAEA-review 2011-004, 日本原子力研究開発機構, 平成 23 年 3 月. 12206

東海再処理施設周辺の環境放射線モニタリング結果 2012 年度. 住谷秀一・他 28 名, JAEA-review 2013-056, 日本原子力研究開発機構, 平成 26 年 3 月. 12207

東海再処理施設周辺の環境放射線モニタリング結果 2013 年度. 渡辺 均・他 24 名, JAEA-review 2014-042, 日本原子力研究開発機構, 平成 27 年 1 月. 12208

放射能調査報告書 平成 10 年度調査結果. 海上保安庁水路部, 平成 12 年 3 月. 12209

放射能調査報告書 平成 11 年度調査結果. 海上保安庁水路部, 平成 13 年 3 月. 12210

放射能調査報告書 平成 12 年度調査結果. 海上保安庁水路部, 平成 14 年 3 月. 12211

放射能調査報告書 平成 13 年度調査結果. 海上保安庁海洋情報部, 平成 15 年 3 月. 12212

放射能調査報告書 平成 14 年度調査結果. 海上保安庁海洋情報部, 平成 16 年 3 月. 12213

放射能調査報告書 平成 15 年度調査結果. 海上保安庁海洋情報部, 平成 17 年 3 月. 12214

放射能調査報告書 平成 16 年度調査結果. 海上保安庁海洋情報部, 平成 18 年 3 月. 12215

放射能調査報告書 平成 17 年度調査結果. 海上保安庁海洋情報部, 平成 19 年 8 月. 12216

放射能調査報告書 平成 18 年度調査結果. 海上保安庁海洋情報部, 平成 20 年 3 月. 12217

放射能調査報告書 平成 19 年度調査結果. 海上保安庁海洋情報部, 平成 20 年 12 月. 12218

放射能調査報告書 平成 20 年度調査結果. 海上保安庁海洋情報部, 平成 21 年 12 月. 12219

放射能調査報告書 平成 23 年度調査結果. 海上保安庁海洋情報部, 平成 25 年 3 月. 12220

放射能調査報告書 平成 24 年度調査結果. 海上保安庁海洋情報部, 平成 26 年 2 月. 12221

昭和 57 年度放射能調査報告書. 海上保安庁水路部, 昭和 59 年 3 月. 3360

昭和 47~49 年度放射能調査報告書. 海上保安庁水路部, 昭和 51 年 2 月. 12222

昭和 50 年度放射能調査報告書. 海上保安庁水路部, 昭和 52 年 2 月. 12223

昭和 51 年度放射能調査報告書. 海上保安庁水路部, 昭和 53 年 2 月. 12224

昭和 54 年度放射能調査報告書. 海上保安庁水路部, 昭和 56 年 3 月. 12225

平成 27 年度版化学物質と環境. 環境省環境保健部環境安全課, 平成 28 年 3 月. 12226

化学物質環境実態調査実施の手引き(平成 27 年度版). 環境省総合環境政策局 環境保健部環境安全課, 平成 28 年 3 月. 12227

2nd IER Annual Progress Report Meeting 第 2 回 IER 成果報告会要旨集. 福島大学 環境放射能研究所, 平成 28 年. 12228

泊発電所周辺環境放射線監視結果報告書:環境放射線(平成 27 年度)第 3 四半期. 北海道, 平成 28 年 3 月. 12229

泊発電所周辺温排水影響調査結果報告書:温排水(平成27年度)第3四半期.北海道,平成28年3月.12230

平成27年度女川原子力発電所環境放射能及び温排水調査結果 第3四半期.35(3),宮城県,平成28年5月.12231

平成26年度海洋水産資源開発事業報告書:遠洋かつお釣 太平洋中・西部海域.報告書番号26年度No.4,国立研究開発法人 水産総合研究センター開発調査センター,横浜,平成28年2月.12232

平成27年度海洋水産資源開発事業報告書:ひきなわ 太平洋クロマグロ養殖種苗 土佐湾周辺海域.報告書番号27年度No.7,国立研究開発法人 水産総合研究センター開発調査センター,横浜,平成28年2月.12233

漁業・水産業における東日本大震災被害と復興に関する情報資料集.一般財団法人東京水産振興会,平成27年11月.12234

第35回全国豊かな海づくり大会 実績報告書 ～富山大会～ 海と森つながる未来命の輪.第35回豊かな海づくり大会富山県実行委員会(編),第35回豊かな海づくり大会富山県実行委員会,富山,平成28年3月.12235

「豊かな海」「YUTAKANAUMI」を世界共通言語にしよう! 森と川と海がつながって,いのちあふれる「豊かな海」を.豊かな海づくり企画委員会(公社)全国豊かな海づくり推進協会,平成28年3月.12236

昭和58年度放射能調査報告書.海上保安庁水路部,昭和60年3月.12237

昭和59年度放射能調査報告書.海上保安庁水路部,昭和61年3月.12238

昭和60年度放射能調査報告書.海上保安庁水路部,昭和62年3月.12239

昭和61年度放射能調査報告書.海上保安庁水路部,昭和63年3月.12240

昭和62年度放射能調査報告書.海上保安庁水路部,平成元年3月.12241

海洋汚染調査報告 第15号 昭和62年調査結果.海上保安庁水路部,平成元年3月.12242

昭和63年度放射能調査報告書.海上保安庁水路部,平成2年3月.12243

平成元年度放射能調査報告書.海上保安庁水路部,平成3年3月.12244

平成2年度放射能調査報告書.海上保安庁水路部,平成4年3月.12245

平成4年度放射能調査報告書.海上保安庁水路部,平成6年3月.12246

平成6年度放射能調査報告書.海上保安庁水路部,平成8年3月.12247

平成7年度放射能調査報告書.海上保安庁水路部,平成9年3月.12248

平成9年度放射能調査報告書.海上保安庁水路部,平成11年3月.12249

志賀原子力発電所温排水影響調査結果報告書 平成27年度 第2報(夏季).石川県,平成28年3月.12250

志賀原子力発電所温排水影響調査年度計画(平成28年度).石川県.12251

志賀原子力発電所周辺環境放射線監視結果報告書 平成27年度 第3報(平成27年10月～12月分).石川県,平成28年3月.12252

志賀原子力発電所周辺環境放射線監視年度計画(平成 28 年度). 石川県. 12253

志賀原子力発電所周辺環境放射線監視年度計画(平成 28 年度). 北陸電力(株). 12254

エネルギーレビュー 2016 6 月号, (株)エネルギーレビューセンター, 平成 28 年 5 月.
12255

島根原子力発電所周辺環境放射線等調査結果 平成 27 年度 第 3・四半期. 島根県. 12256

平成 28 年度島根原子力発電所周辺環境放射線等測定計画. 島根県. 12257

昭和 44 年度農林省関係放射能調査研究年報 C 水産関係. 東海区水産研究所・西海区水産研究所水産研究所・日本海区水産研究所・北海道区水産研究所・東北区水産研究所・南西海区水産研究所, 昭和 45 年 10 月. 12258

昭和 46 年度農林省関係放射能調査研究年報 C 水産関係. 東海区水産研究所・西海区水産研究所水産研究所・日本海区水産研究所・北海道区水産研究所・東北区水産研究所・南西海区水産研究所, 昭和 47 年 10 月. 12259

昭和 47 年度農林省関係放射能調査研究年報 C 水産関係. 東海区水産研究所・西海区水産研究所水産研究所・日本海区水産研究所・北海道区水産研究所・東北区水産研究所・南西海区水産研究所, 昭和 48 年 10 月. 12260

昭和 48 年度農林省関係放射能調査研究年報 A 農業関係 B 畜産関係 C 水産関係. 農林水産技術会議事務局, 昭和 49 年 10 月. 12261

昭和 49 年度農林省関係放射能調査研究年報 C 水産関係. 東海区水産研究所・西海区水産研究所水産研究所・日本海区水産研究所・北海道区水産研究所・東北区水産研究所・南西海区水産研究所発行, 昭和 50 年 12 月. 12262

昭和 50 年度農林省関係放射能調査研究年報 A 農業関係 B 畜産関係 C 水産関係. 農林水産技術会議事務局, 昭和 51 年 12 月. 12263

昭和 50 年度農林省関係放射能調査研究年報 C 水産関係. 東海区水産研究所・西海区水産研究所水産研究所・日本海区水産研究所・北海道区水産研究所・東北区水産研究所・南西海区水産研究所, 昭和 51 年 12 月. 12264

昭和 51 年度農林省関係放射能調査研究年報 A 農業関係 B 畜産関係 C 水産関係. 農林水産技術会議事務局, 昭和 52 年 11 月. 12265

昭和 51 年度農林省関係放射能調査研究年報(水産関係). 東海区水産研究所・西海区水産研究所水産研究所・日本海区水産研究所・北海道区水産研究所・東北区水産研究所・南西海区水産研究所, 昭和 52 年 11 月. 12266

昭和 52 年度農林省関係放射能調査研究年報 水産関係. 東海区水産研究所・西海区水産研究所水産研究所・日本海区水産研究所・北海道区水産研究所・東北区水産研究所・南西海区水産研究所, 昭和 54 年 2 月. 12267

昭和 53 年度農林省関係放射能調査研究年報 A 農業関係 B 畜産関係 C 水産関係. 農林水産技術会議事務局, 昭和 54 年 12 月. 12268

昭和 53 年度農林水産省関係放射能調査研究年報 水産関係. 昭和 54 年 12 月. 12269

昭和 54 年度農林水産省関係放射能調査研究年報 C 水産関係. 農林水産技術会議事務局, 昭和 56 年 1 月. 12270

昭和 55 年度農林水産省関係放射能調査研究年報 A 農業関係 B 畜産関係 C 水産関係. 農林水産技術会議事務局, 昭和 57 年 2 月. 12271

昭和 55 年度農林水産省関係放射能調査研究年報 C 水産関係. 農林水産技術会議事務局, 昭和 57 年 2 月. 12272

昭和 56 年度農林水産省関係放射能調査研究年報 A 農業関係 B 畜産関係 C 水産関係. 農林水産技術会議事務局, 昭和 58 年 2 月. 12273

昭和 56 年度農林水産省関係放射能調査研究年報 C 水産関係. 農林水産技術会議事務局, 昭和 58 年 2 月. 12274

昭和 57 年度農林水産省関係放射能調査研究年報 A 農業関係 B 畜産関係 C 水産関係. 農林水産技術会議事務局, 昭和 59 年 3 月. 12275

昭和 57 年度農林水産省関係放射能調査研究年報 C 水産関係. 農林水産技術会議事務局, 昭和 59 年 3 月. 12276

平成 27 年度水産工学関係研究開発推進会議水産基盤部会 漁湾水域の有効利用の促進を考える -栽培養殖・観光資源との連携を中心に- 報告書. 国立研究開発法人水産研究・教育機構水産工学研究所, 平成 28 年 4 月. 12277

昭和 52~55 年度放射性固体廃棄物の海洋処分に伴う海産生物等に関する調査報告書 漁業及び漁場. 水産庁 東海区水産研究所, 昭和 56 年 3 月. 12278

昭和 52~55 年度放射性固体廃棄物の海洋処分に伴う海産生物等に関する調査報告書 漁業及び漁場 補遺. 水産庁 東海区水産研究所, 昭和 56 年 12 月. 12279

昭和 58 年度農林水産省関係放射能調査研究年報 A 農業関係 B 畜産関係 C 水産関係. 農林水産技術会議事務局, 昭和 60 年 3 月. 12280

近海海産生物放射能調査核種分析結果 (昭和 52~58 年度). 北海道区水産研究所・東海区水産研究所・西海水産研究所区・日本海区水産研究所発行, 北海道区水産研究所・東海区水産研究所・西海水産研究所区・日本海区水産研究所, 昭和 61 年 3 月. 12281

昭和 60 年度農林水産省関係放射能調査研究年報 C 水産関係. 農林水産技術会議事務局, 昭和 62 年 3 月. 12282

昭和 61 年度農林水産省関係放射能調査研究年報 C 水産関係. 農林水産技術会議事務局, 昭和 63 年 3 月. 12283

1981 年度放射性固体廃棄物の海洋処分に伴う海産生物調査報告書. 水産庁 東海区水産研究所・放射能部, 昭和 58 年 11 月. 12284

昭和 62 年度農林水産省関係放射能調査研究年報 C 水産関係. 農林水産技術会議事務局, 平成元年 3 月. 12285

平成元年度農林水産省関係放射能調査研究年報 A 農業関係 B 畜産関係 C 水産関係. 農林水産技術会議事務局, 平成 3 年 6 月. 12286

平成2年度農林水産省関係放射能調査研究年報 A 農業関係 B 畜産関係 C 水産関係. 農林水産技術会議事務局, 平成4年6月. 12287

平成3年度農林水産省関係放射能調査研究年報 A 農業関係 B 畜産関係 C 水産関係. 農林水産技術会議事務局, 平成5年9月. 12288

平成7年度農林水産省関係放射能調査研究年報 A 農業関係 B 畜産関係 C 水産関係. 農林水産技術会議事務局, 平成9年1月. 12289

平成8年度農林水産省関係放射能調査研究年報 A 農業関係 B 畜産関係 C 水産関係. 農林水産技術会議事務局, 平成10年3月. 12290

第36回公益財団法人日本水環境学会通常総会. 日本水環境学会, 平成28年6月. 12291

平成9年度農林水産省関係放射能調査研究年報 A 農業関係 B 畜産関係 C 水産関係. 農林水産省農林水産技術会議事務局, 平成11年3月. 12292

平成10年度農林水産省関係放射能調査研究年報 A 農業関係 B 畜産関係 C 水産関係. 農林水産省農林水産技術会議事務局, 平成12年3月. 12293

平成11年度農林水産省関係放射能調査研究年報 C 水産関係. 農林水産省農林水産技術会議事務局, 平成13年3月. 12294

平成12年度農林水産省関係放射能調査研究年報 C 水産関係. 農林水産省農林水産技術会議事務局, 平成14年3月. 12295

平成13年度農林水産省関係放射能調査研究年報 C 水産関係. 農林水産省農林水産技術会議事務局, 平成15年3月. 12296

平成14年度農林水産省関係放射能調査研究年報 C 水産関係. 農林水産省農林水産技術会議事務局, 平成16年3月. 12297

平成15年度農林水産省関係放射能調査研究年報 A 農業関係 B 畜産関係 C 水産関係. 農林水産省農林水産技術会議事務局, 平成17年3月. 12298

平成15年度農林水産省関係放射能調査研究年報 C 水産関係. 農林水産省農林水産技術会議事務局, 平成17年3月. 12299

平成16年度農林水産省関係放射能調査研究年報 A 農業関係 B 畜産関係 C 水産関係. 農林水産省農林水産技術会議事務局, 平成18年3月. 12300

平成16年度農林水産省関係放射能調査研究年報 C 水産関係. 農林水産省農林水産技術会議事務局, 平成18年3月. 12301

平成17年度農林水産省関係放射能調査研究年報 A 農業関係 B 畜産関係 C 水産関係. 農林水産省農林水産技術会議事務局, 平成19年3月. 12302

平成17年度農林水産省関係放射能調査研究年報 C 水産関係. 農林水産省農林水産技術会議事務局, 平成19年3月. 12303

平成18年度農林水産省関係放射能調査研究年報 A 農業関係 B 畜産関係 C 水産関係. 農林水産省農林水産技術会議事務局, 平成20年3月. 12304

平成18年度農林水産省関係放射能調査研究年報 C 水産関係. 農林水産省農林水産技術会議

- 事務局,平成 20 年 3 月. 12305
- 平成 19 年度農林水産省関係放射能調査研究年報 C 水産関係. 農林水産省農林水産技術会議事務局,平成 21 年 3 月. 12306
- 平成 20 年度農林水産省関係放射能調査研究年報 C 水産関係. 農林水産省農林水産技術会議事務局,平成 22 年 3 月. 12307
- 平成 21 年度農林水産省関係放射能調査研究年報 A 農業関係 B 畜産関係 C 水産関係. 農林水産省農林水産技術会議事務局,平成 23 年 3 月. 12308
- 平成 25 年度農林水産省関係放射能調査研究年報 A 農業関係 B 畜産関係 C 水産関係. 農林水産省農林水産技術会議事務局,平成 27 年 3 月. 12309
- 平成 25 年度農林水産省関係放射能調査研究年報 C 水産関係. 農林水産省農林水産技術会議事務局,平成 27 年 3 月. 12310
- 世界の原子力発電開発の動向 2016 World nuclear power plants. 日本原子力産業協会(編), (一社)日本原子力産業協会,平成 28 年 4 月. 12313
- 海洋白書 2016 大きく動き出した海洋をめぐる世界と日本の取組み. (公財)笹川平和財団海洋政策研究所,東京,平成 28 年. 12311
- 第 49 回原産年次大会. (一社)日本原子力産業協会,平成 28 年. 12312
- 環形動物多毛類Ⅳ. 今島 実, Vol. 4, 生物研究社, 東京, 平成 27 年. 12317
- 平成 27 年度イカ類漁場開発調査資料第 41 号及び外洋性イカ(スルメイカ・アカイカ)に関する基礎資料集, (地独)青森県産業技術センター水産総合研究所,平成 28 年 6 月. 12314
- 玄海原子力発電所の運転状況及び周辺環境調査結果(年報)(平成 27 年度). 佐賀県,平成 28 年 7 月. 12315
- 玄海原子力発電所の運転状況及び周辺環境調査結果(季報)(平成 28 年 1 月~3 月). 佐賀県,平成 28 年 7 月. 12316
- 気候変動の農業への影響と対策の評価. 古家 淳(編), 国際農業研究叢書 24, 国立研究開発法人 国際農林水産業研究センター, 茨城, 平成 28 年 3 月. 12318
- 平成 27 年度女川原子力発電所環境放射能及び温排水調査結果 第 4 四半期. 宮城県, 35(4), 平成 28 年 6 月. 12319
- 平成 27 年度海洋水産資源開発事業報告書: 遠洋まぐろはえなわ 太平洋中・東部海域. 報告書番号 26 年度No.1, 国立研究開発法人 水産総合研究センター開発調査センター, 平成 28 年 3 月. 12320
- 西表島研究 2014 東海大学沖縄地域研究センター所報. 東海大学沖縄地域研究センター, 平成 27 年 12 月. 12321
- 平成 26 年度版漁村活性化の実践に向けた取組のポイント(第 1 巻: 事例分析と効果的な進め方). 一般財団法人 漁港漁場漁村総合研究所, 平成 27 年 3 月. 12322
- 平成 26 年度版漁村活性化の実践に向けた取組のポイント(第 2 巻: 漁村活性化の効果を把

握する方法). 一般財団法人 漁港漁場漁村総合研究所, 平成 27 年 3 月. 12323

30 年のあゆみ. 一般社団法人 水産土木建設技術センター, 平成 28 年 6 月. 12324

島根原子力発電所周辺環境放射線等調査結果 平成 27 年度 第 4・四半期. 島根県. 12325

平成 27 年度島根原子力発電所周辺環境放射線等調査結果. 島根県. 12326

志賀原子力発電所温排水影響調査結果報告書 平成 27 年度 第 2 報(秋季). 石川県, 平成 28 年 7 月. 12327

志賀原子力発電所周辺環境放射線監視結果報告書 平成 27 年度 第 4 報(平成 28 年 1 月～3 月分). 石川県, 金沢, 平成 28 年 7 月. 12328

泊発電所周辺温排水影響調査結果報告書:温排水 平成 27 年度(第 4 四半期). 北海道, 平成 28 年 6 月. 12329

泊発電所周辺環境放射線監視結果報告書:環境放射線 平成 27 年度(第 4 四半期). 北海道, 平成 28 年 6 月. 12330

農林水産業・食品産業科学技術研究推進事業研究紹介 2016. 平成 28 年. 12331

平成 27 年度海洋水産資源開発事業報告書:北太平洋さんま漁業 太平洋中・西部海域. 報告書番号 27 年度No.5, 国立研究開発法人 水産総合研究センター開発調査センター, 平成 28 年 5 月. 12332

第 89 回日本生化学会大会合同大会 プログラム集. 公益社団法人 日本生化学会, 平成 28 年 8 月. 12333

海藻の疑問 50. 日本藻類学会(編), 成山堂書店, 東京, 平成 28 年. 12334

福島第一原発事故による海と魚の放射能汚染. 国立研究開発法人 水産総合研究センター(編), 成山堂書店, 東京, 平成 28 年 3 月. 12335

2016 年度日仏海洋学会学術研究発表会講演要旨集. 日仏海洋学会, 平成 28 年 6 月. 12336

J-POWER Group サステナビリティレポート:エネルギーと環境の共生をめざして 2016. 電源開発, 平成 28 年 8 月. 12337

ニュートン別冊統計と確率ケーススタディ 30 基礎知識と実践的な分析手法. ニュートンプレス, 東京, 平成 26 年 5 月. 12338

電力開発計画新鑑 平成 28 年度版. 日刊電気通信社, 東京, 平成 28 年 9 月. 12339

平成 29 年 潮汐表 第 1 巻潮汐表 第 1 巻 日本及び付近. 海上保安庁海洋情報部(編), Vol. 第 1 巻, 海上保安庁, 東京, 平成 28 年 2 月. 12340

平成 26 年度海洋水産資源開発事業報告書:小型底びき網 茨城県久慈浜地区. 報告書番号 26 年度No.8, 国立研究開発法人 水産総合研究センター開発調査センター, 平成 28 年 4 月. 12341

泊発電所周辺温排水影響調査結果報告書(平成 27 年度). 北海道, 平成 28 年 7 月. 12342

泊発電所周辺環境放射線監視結果報告書(平成 27 年度). 北海道, 平成 28 年 7 月. 12343

東通原子力発電所温排水影響調査結果報告書 平成 27 年度(第 3 四半期報). 青森県農林水産部水産局水産振興課, 平成 28 年 6 月. 12344

原子力施設環境放射線調査報告書(平成 27 年度 第 2 四半期報). 青森県原子力センター, 平成 28 年 2 月. 12345

原子力施設環境放射線調査報告書(平成 27 年度 第 3 四半期報). 青森県原子力センター, 平成 28 年 6 月. 12346

原子力施設環境放射線調査報告書(平成 27 年度 第 4 四半期報). 青森県原子力センター, 平成 28 年 9 月. 12347

原子力施設環境放射線調査報告書(平成 27 年度). 青森県原子力センター, 平成 28 年 9 月. 12348

玄海原子力発電所の運転状況及び周辺環境調査結果 (季報)(平成 28 年 4 月～6 月). 佐賀県, 平成 28 年 10 月. 12349

日本産ヒラメ・カレイ類. 尼岡邦夫, 東海大学出版部, 平塚, 平成 28 年 9 月. 12359

平成 27 年度原子力発電所周辺の環境放射能調査報告 年報(2015). FERC, 福井県環境放射能測定技術会議, 平成 28 年 10 月. 12350

原子力機構の研究開発成果 2016-17. 国立研究開発法人 日本原子力研究開発機構, 平成 28 年 10 月. 12351

平成 27 年度女川原子力発電所環境放射能調査結果, 35(5). 宮城県, 平成 28 年 9 月. 12352

女川原子力発電所環境放射能及び温排水調査結果 平成 28 年度(第 1 四半期), 36(1), 宮城県, 平成 28 年 9 月. 12353

平成 28 年度火力原子力発電大会研究発表要旨集. (社)火力原子力発電技術協会, 平成 28 年 10 月. 12354

志賀原子力発電所周辺環境放射線監視結果報告書 平成 27 年度 年報. 石川県, 平成 28 年 10 月. 12355

志賀原子力発電所周辺環境放射線監視結果報告書 平成 28 年度 第 1 報(平成 28 年 4 月～6 月分). 石川県, 平成 28 年 10 月. 12356

志賀原子力発電所温排水影響調査結果報告書 平成 27 年度 第 4 報(冬季). 石川県, 平成 28 年 10 月. 12357

志賀原子力発電所温排水影響調査結果報告書 平成 27 年度 年報. 石川県, 平成 28 年 10 月. 12358

島根原子力発電所温排水影響調査研究報告書 No.36. 島根県水産技術センター(内水面浅海部浅海科), 平成 28 年 11 月. 12360

平成 26 年度海洋水産資源開発事業報告書:海外まき網 熱帯インド洋海域. 報告書番号 26 年度No.2, 国立研究開発法人 水産研究・教育機構 開発調査センター, 平成 28 年 4 月. 12361

海洋音響の基礎と応用. 海洋音響学会(編), 成山堂書店, 東京, 平成 16 年. 12365

東通原子力発電所温排水影響調査結果報告書 平成 27 年度(第 4 四半期報). 青森県農林水産部水産局水産振興課, 平成 28 年 8 月. 12362

東通原子力発電所温排水影響調査結果報告書 平成 27 年度報. 青森県農林水産部水産局水産振興課, 平成 28 年 8 月. 12363

東通原子力発電所温排水影響調査結果報告書 平成 28 年度(第 1 四半期報). 青森県農林水産部水産局水産振興課, 平成 28 年 11 月. 12364